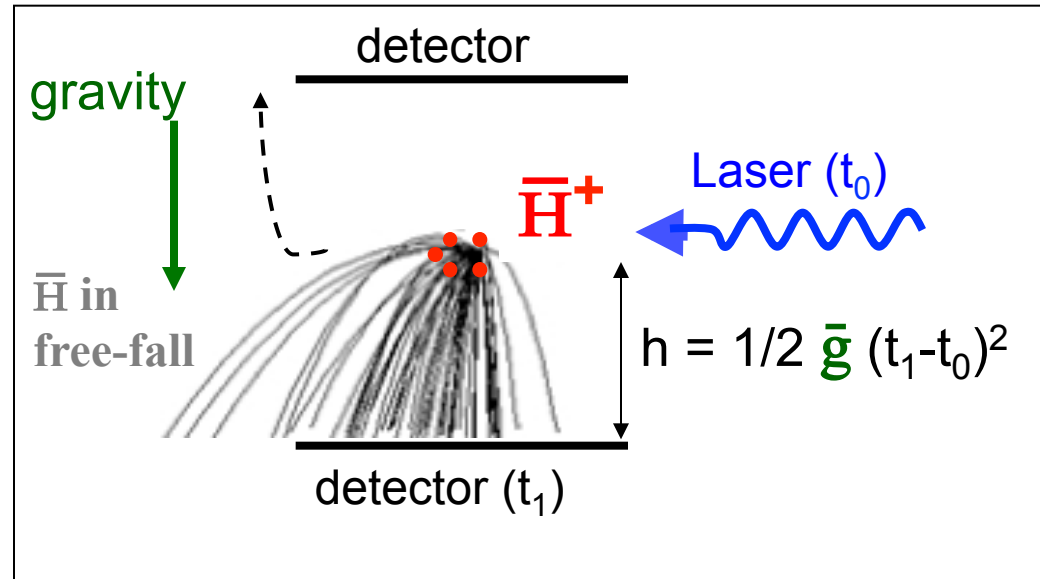


GBAR (Gravitational Behaviour of Antihydrogen at Rest)



Proposal CERN-SPSC-2011-029

Goal $\Delta \bar{g}/\bar{g} \sim 1\%$



P.N. Lebedev Physical
Institute of the Russian
Academy of Science



GBAR dans l'IRFU

DIR: P. Debu

SPP: *B. Mansoulié, P. Pérez, Y. Sacquin, B. Vallage*

SEDI: L. Liszkay

SACM: J-M. Rey, P. Lévêque, , A. Chancé, D. Loucano et l'atelier du SACM

SIS: P. Bargueden, G. Dispau, Y. Lecout, P. Lotrus, J. Noury, J-Y. Roussé, Y. LeNoa

SIS(BE): P. Hardy, G. Coulloux

SPhN: *contacts avec J. Carbonell, V. Blideanu*

Etudiants: P. Grandemange, P.Comini

Postdocs: D. Brooke-Roberge, C. Roux (?) (ANR POSITRAP, Sept 2012)

Stagiaire: M. Haroche 1 an (centrale Paris) ?

Aides ponctuelles:

SACM: F. Peauger, A. France, G. Bourdelle, S. Langlois, R. Duperrier

SEDI: P. Legou, Y. Combet

SPP: R. Aleksan

Audit:

S. Joly, L. Rinolfi, H. Dzitko

Motivation

A direct test of the Equivalence Principle with antimatter

The acceleration imparted to a body by a gravitational field is independent of the nature of the body :

$$\text{Inertial mass} = \text{gravitational mass}$$

Tested to a very high precision with many materials

Weak Equivalence Principle (torsion pendulum)

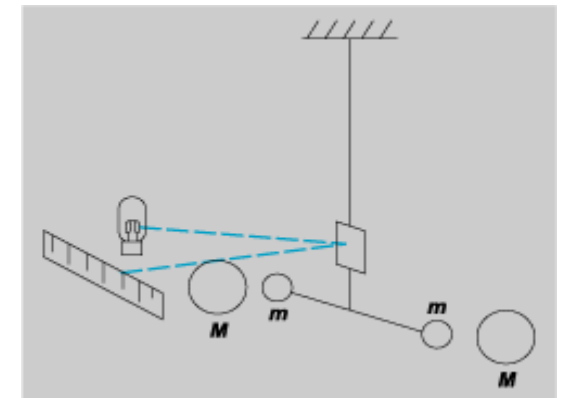
$$(\Delta a / a)_{\text{Be/Ti}} = (0.3 \pm 1.8) \times 10^{-13}$$

S.Schlamminger et al, Phys Rev Lett 100 (2008) 041101

Strong Equivalence Principle (Lunar Laser Ranging)

$$(\Delta a / a)_{\text{Earth/Moon}} = (-1.0 \pm 1.4) \times 10^{-13}$$

J.G.Williams et al, Phys Rev Lett 93 (2004) 261101



CPT symmetry assumed

(see talk by E. Adelberger at gbar2011 workshop
<http://indico.in2p3.fr//event/gbar2011.fr>)

Theory

$$V = -G \frac{mm'}{r} (1 - \frac{a}{r} e^{-\frac{r}{v}} + b e^{-\frac{r}{s}})$$

Newton Supergravity : one component of
repulsive gravity

J. Scherk, Phys. Lett. B, 265 (1979).

Discussion and experimental constraints : *M. Nieto and T. Goldman, Phys. Rep. 205, 221 (1991).*

Motivation for antigravity in General Relativity: *G. Chardin, Hyperfine Interactions 109, 83 (1997).*

Lorentz and CPT violation in SME: *V. A. Kostelecky' and J. D. Tasson, Phys. Rev. D 83, 016013 (2011).*

→ Toy model evades constraints

$$L = \underbrace{\frac{1}{2}(m + \frac{5}{3}N^w m^w \bar{c}_{TT}^w)}_{m_{i,\text{eff}}} v^2 - gz \underbrace{(m + N^w m^w \bar{c}_{TT}^w + 2\alpha N^w (\bar{a}_{\text{eff}})_T^w)}_{m_{g,\text{eff}}}$$

matter

$$\begin{aligned}m_{i,\text{eff}} &= m_{g,\text{eff}} \\a &= g\end{aligned}$$

$$m_{i,\text{eff}} \neq m_{g,\text{eff}}$$

$$\bar{a} = g \left(1 - \frac{4m^w N^w}{3m} \bar{c}_{TT}^w \right)$$

antimatter

Considérations théoriques

- **Antigravité en Relativité Générale**
→ violation de la conservation de l'énergie
- **$m_G \neq \bar{m}_G$ possible si on ajoute des interactions (supergravité...)**
- **Pas d'antimatière dans l'univers visible**
→ répulsion matière antimatière ?
- **énergie noire + matière noire + inflation**
→ théorie de la gravitation OK ?

Limites sur $(\bar{g}-g)/g$

Limites indirectes :

- Contenu en antimatière de la matière ordinaire : $\sim 10^{-9}$
- Mesures η^\pm et Φ^\pm en fonction du temps par CPLEAR : qqs 10^{-9}
- Mesure fréquences cyclotron p (H^-) et \bar{p} dans un même champ B : $\sim 10^{-6}$

Limite directe ?

- Temps d'arrivée d'1 neutrino (?) & 18 antineutrinos de SN1987a : $\sim 10^{-6}$

Pourquoi l'antihydrogène ?

-**positrons** : *F. Witteborn and W. Fairbank, Phys Rev Lett 19 (1967) 1049*

-**antiprotons** : *PS200 Proposal Los Alamos Report LA-UR 86-260*

-*Systématiques trop grandes* :

$$m_e g / e = 5.6 \times 10^{-11} V / m \text{ (une charge élémentaire à 5 m)}$$

-**antineutrons** : difficile de les ralentir suffisamment

T. Brando et al, Nucl. Instrum. Methods 180 (1981) 461

-**positronium** : temps de vie très court (142 ns) si $n = 1$

possibilité discutée s'il est excité $n \gg 1$

Pbs : refroidissement, polarisabilité, ionisation par rayonnement...

A.P. Mills, M. Leventhal, Nucl. Instrum. Meth. in Phys. Research. B192 (2002) 102

Low velocity for free fall measurement

Classical free fall: $z = z^0 + \vec{v}_z^0 t + \frac{1}{2} gt^2$

Main perturbation

Desired range

Velocity fluctuation	100 m/s	3 m/s	0.1 m/s
Temperature equivalent	1 K	1 mK	1 μ K

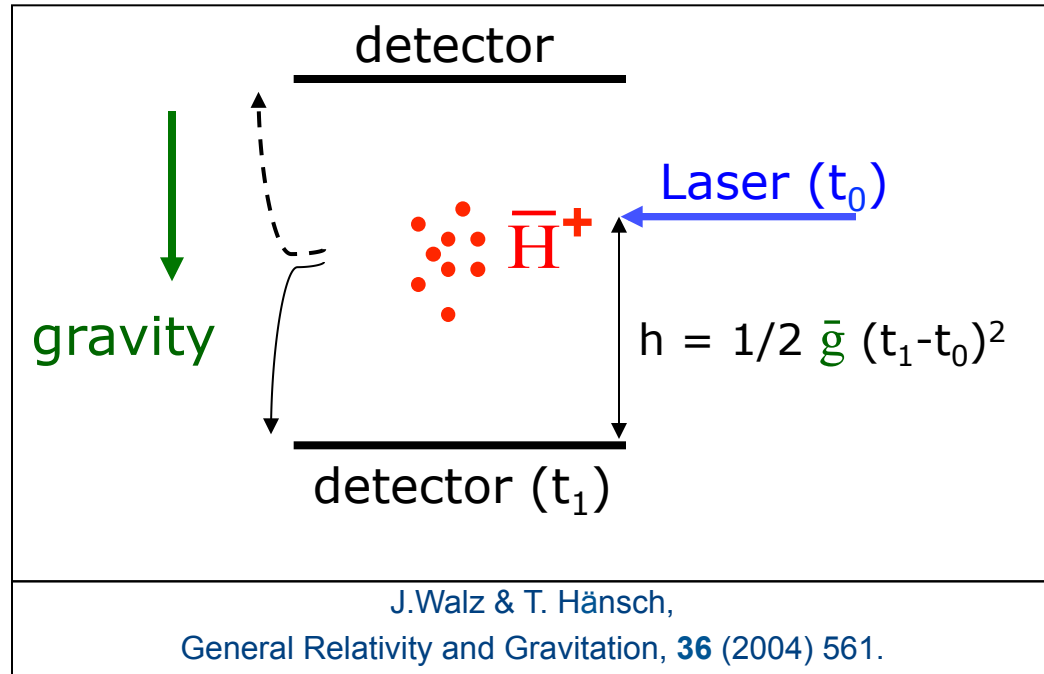
Recoil limit of Ly _{α} laser cooling of \bar{H}

Using \bar{H}^+ to get \bar{H} atoms

- Produce ion \bar{H}^+
- Sympathetic cooling $10 \mu\text{K}$
- Photodetachment of e^+
- Time of flight

Error dominated by temperature of \bar{H}^+

Relative Precision on \bar{g} :

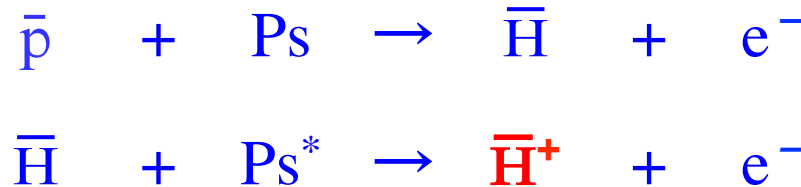
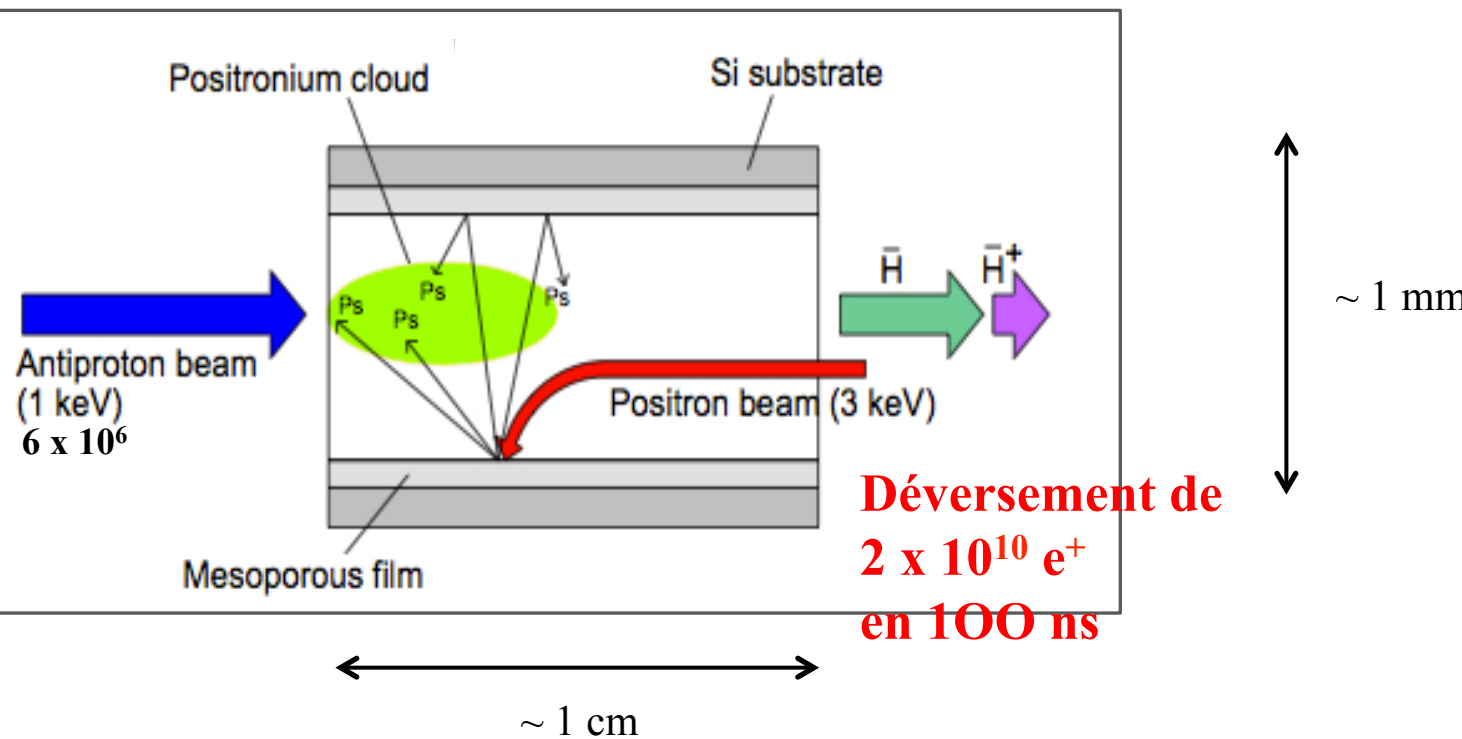


\bar{H} detected free falls	$\Delta g/g$
$1.5 \cdot 10^5$	0.001
1500	0.01

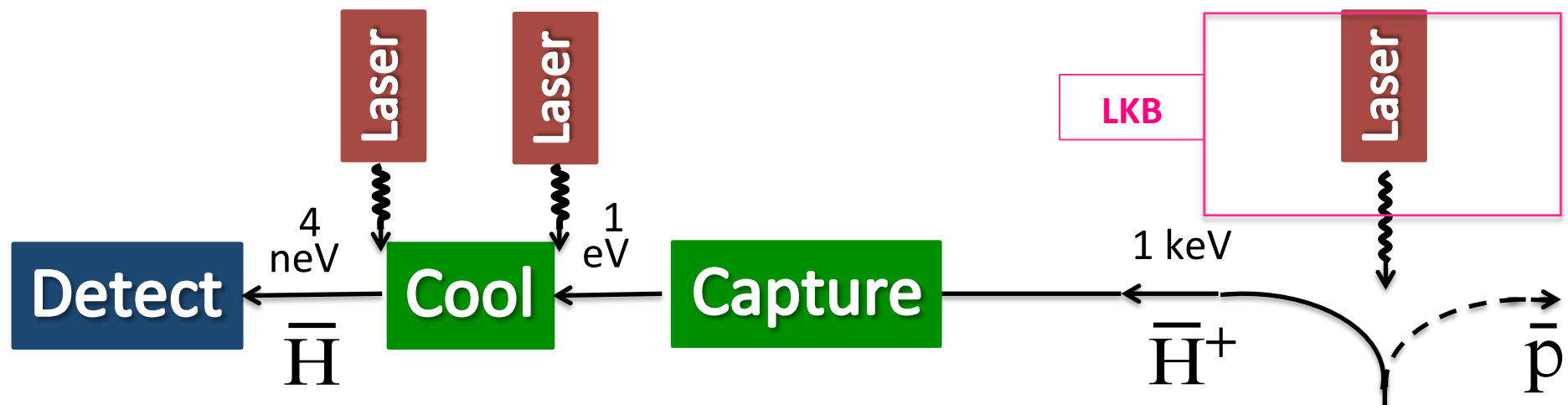
$$h = 20 \text{ cm} \rightarrow \Delta t = 202 \text{ ms}$$

$$h = 15 \text{ cm} \rightarrow \Delta t = 175 \text{ ms}$$

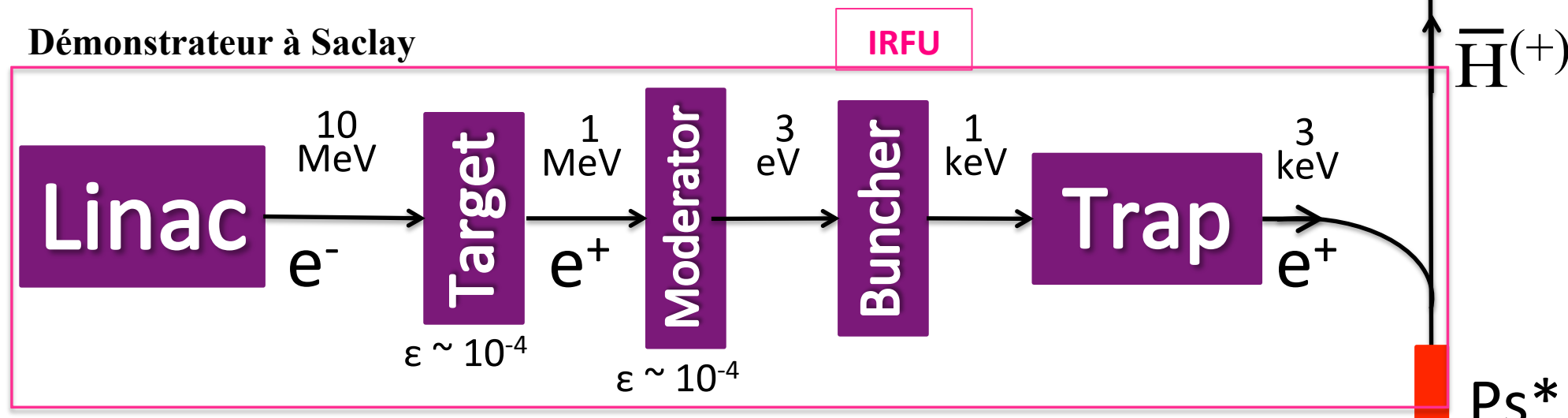
Production des \bar{H}^+



$\sim 0.3 \bar{H}^+ / \text{pulse } (\sim 2 \text{ minutes})$



Démonstrateur à Saclay



Démonstrateur au

CSNSM



GBAR à Saclay

Recommandations CSTS SPP 5 mai 2010

1- Comprendre le déficit de e ⁺ rapides	mesures AIRIX (E = f(I))	04/2011
2- Réaliser ligne de transport e ⁺ lents	Financement P2I	06/2011
3- Recherche de collaborateurs et proposal CERN	GBAR proposal (14 instituts 40 physiciens)	09/2011

Actions supplémentaires

ANR POSITRAP (600 k€), DIM IFRAF RESIMA (580 k€), P2IO (96 k€)

~~Equipex PAM, ANR PARMES (x2), demande postdoc P2IO (100 k€)~~

ERC Synergy (12.5 M€), ANR SCOPE (x2)

Transport piège de Penning de RIKEN et installation

Contact NCBJ Swierk pour futur linac → nouveau collaborateur

Contact J. Walz (Mainz) → nouveau collaborateur

Thèses de P. Dupré et N. Ruiz

Workshop GBAR2011 60 participants/ 2 jours a l'IHP

Mesure E_{LINAC} avec spectro AIRIX

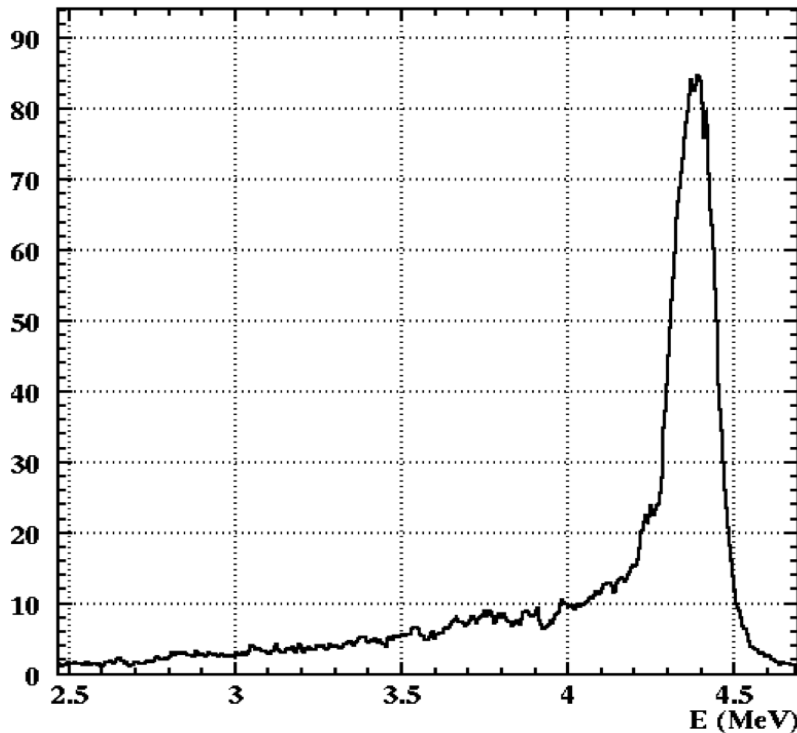


Figure 1 – measured e^- beam energy spectrum

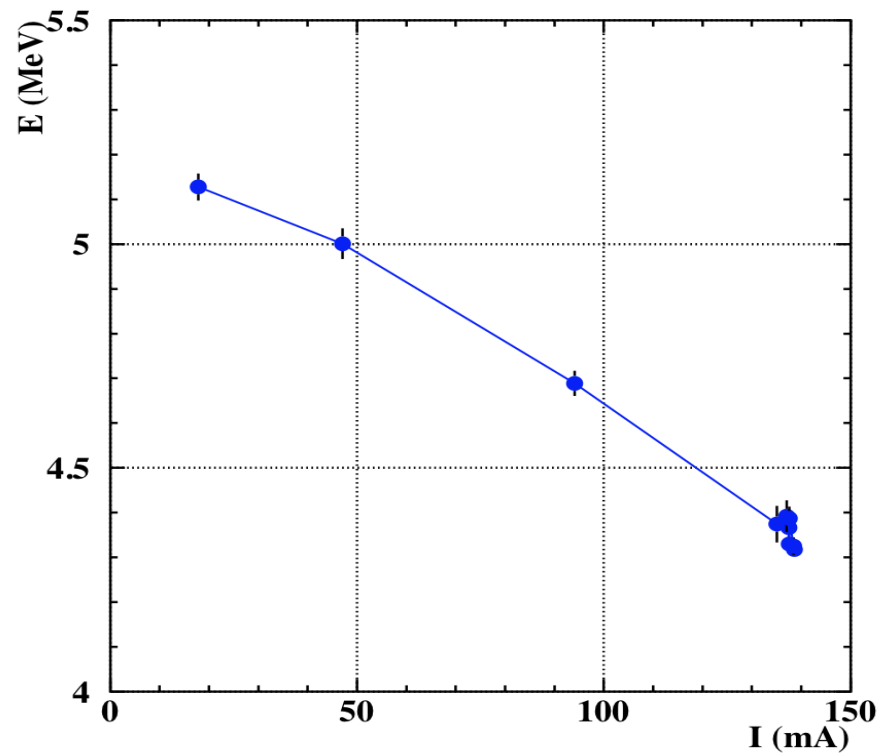


Figure 2 – measured e^- beam energy vs current

Intervention NCBJ sur regulation Linac

Conseil de L. Rinolfi (Cern) et aide de R. Aleksan

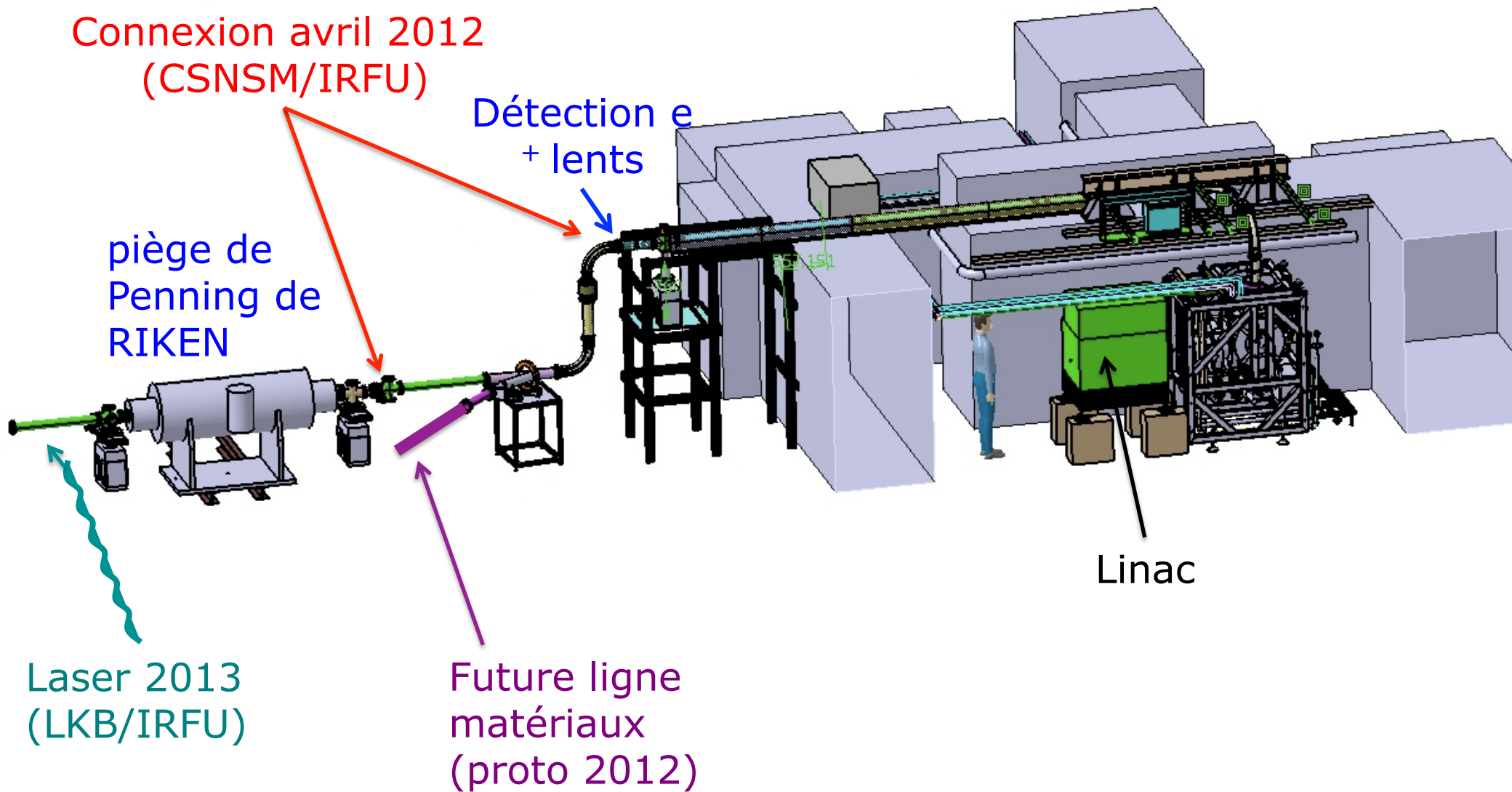
MoU entre NCBJ (Swierk, Pologne) et CEA/DSM
-> régulation linac (10 k€)

Effectué avril 2012 avec succès
-> stable a 200 Hz

Connexion avril 2012
(CSNSM/IRFU)

piège de
Penning de
RIKEN

Détection e
+ lenses



Laser 2013
(LKB/IRFU)

Future ligne
matériaux
(proto 2012)

Situation 5/04/2012

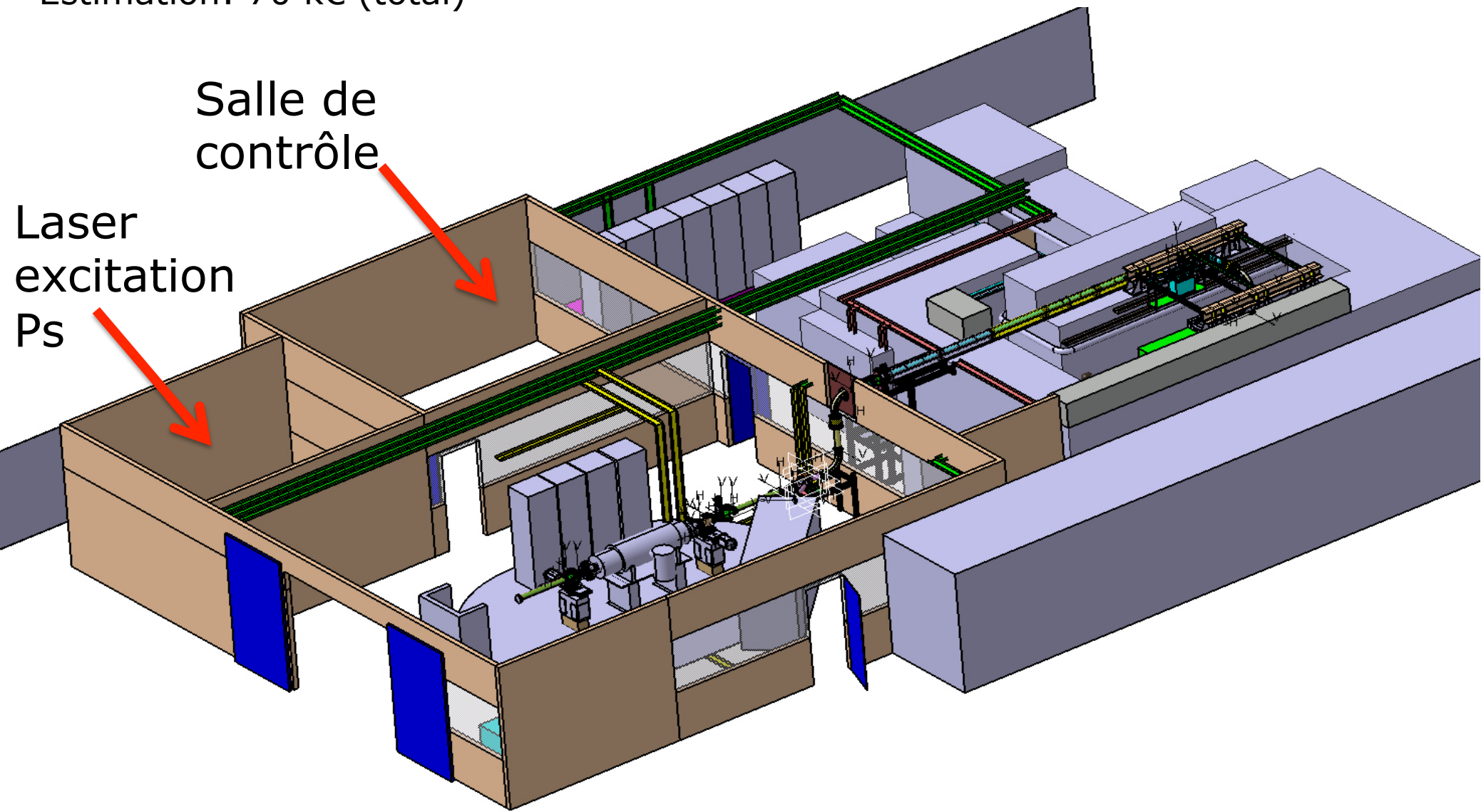


N. Ruiz, *Thesis, U. of Paris 6, (2011)*

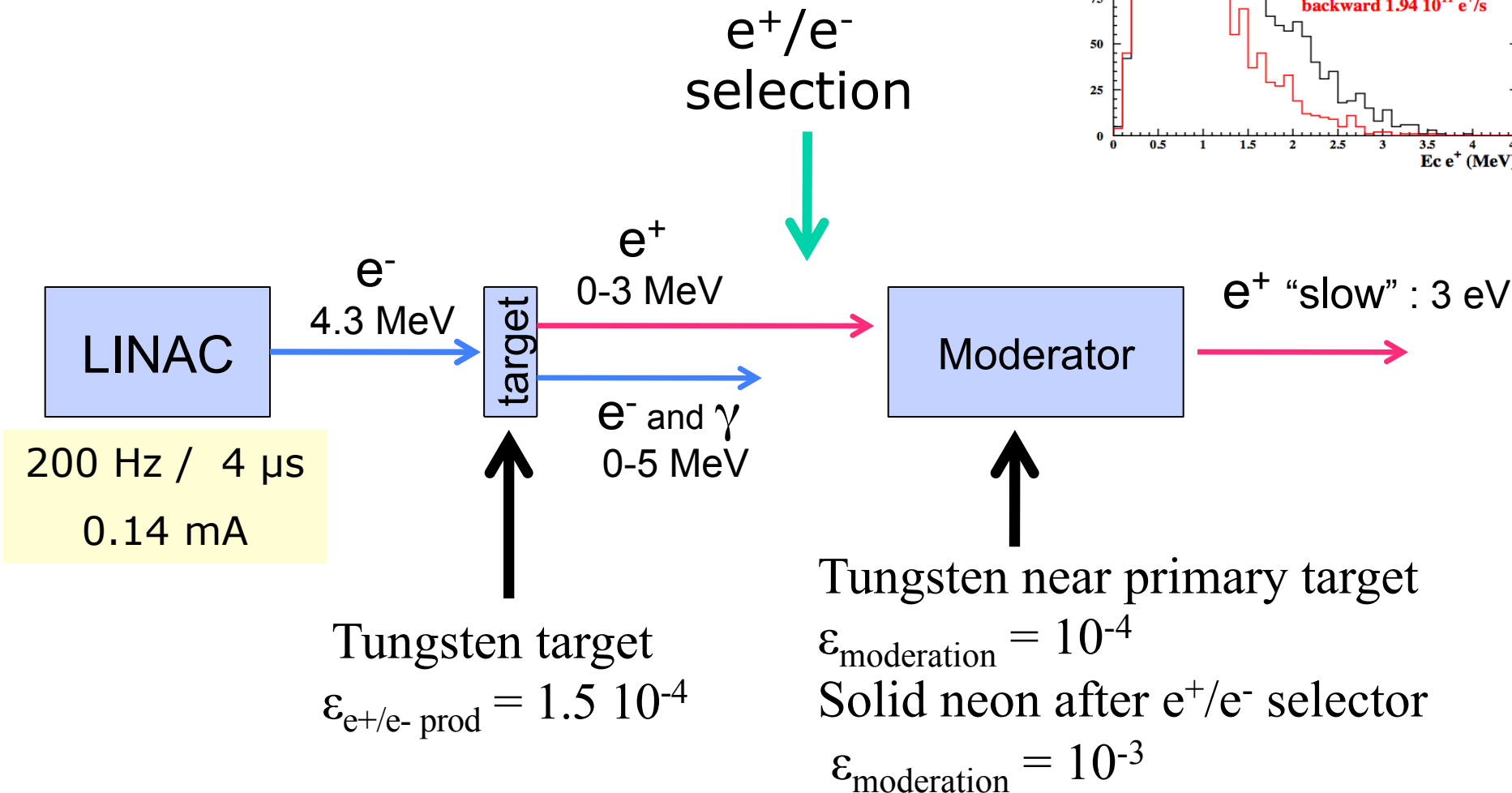
“Cabane” pour isoler les équipements

Recommandé par CLS juin 2011

Estimation: 70 k€ (total)



High intensity slow positrons source



moderation

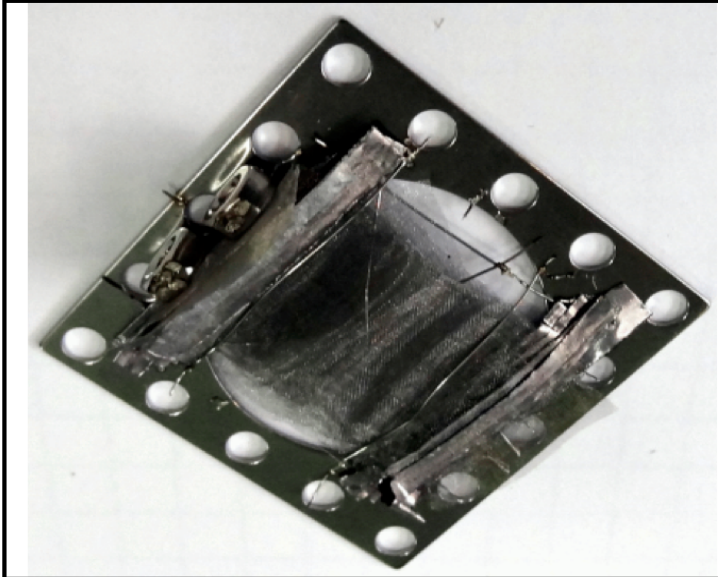


Figure 5 – tungsten mesh moderator

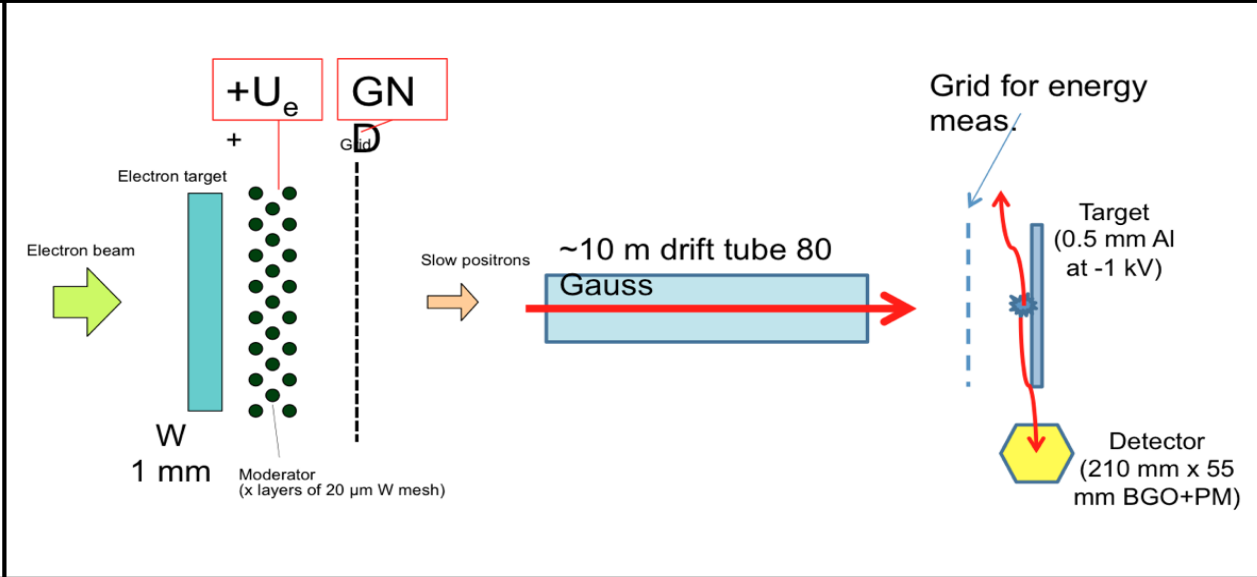
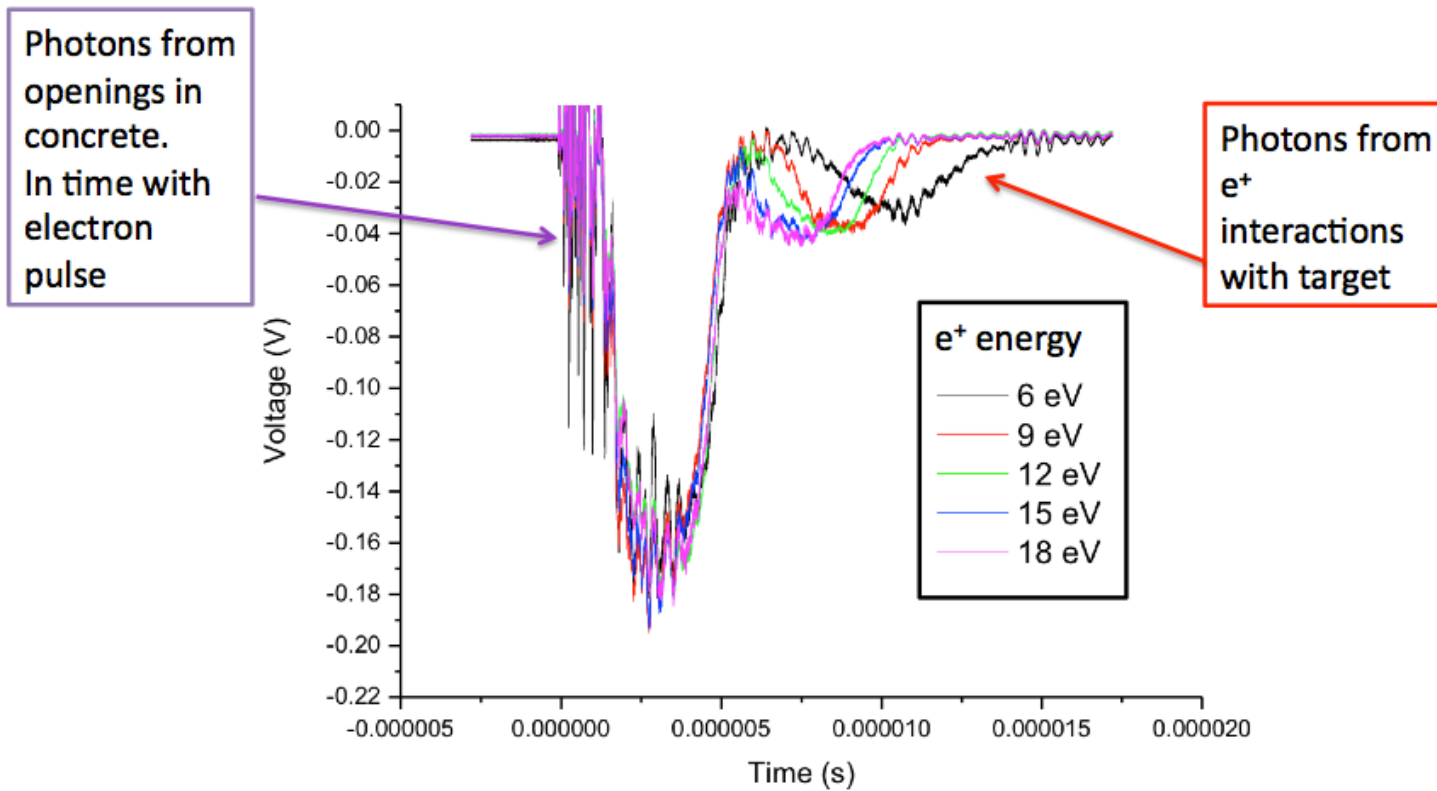


Figure 6 – principle of slow e^+ detection

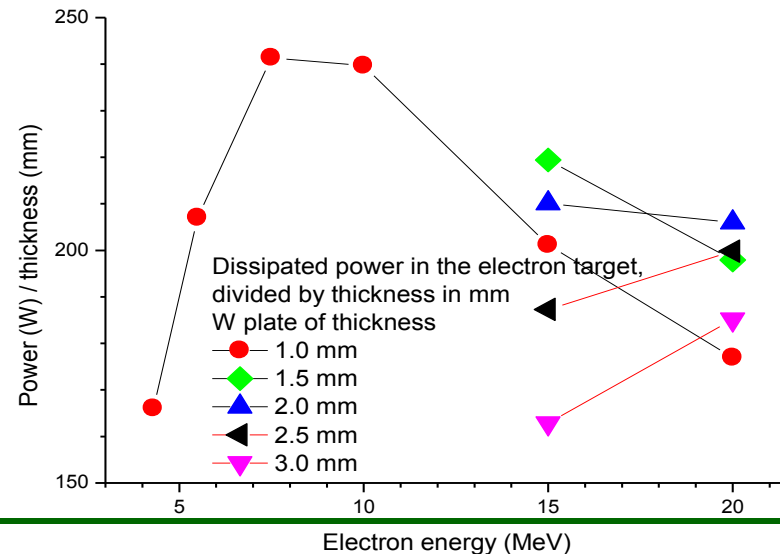
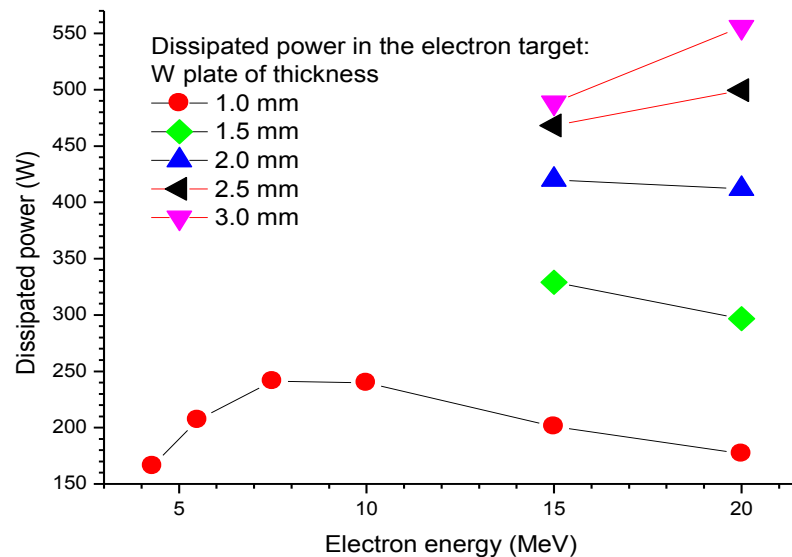
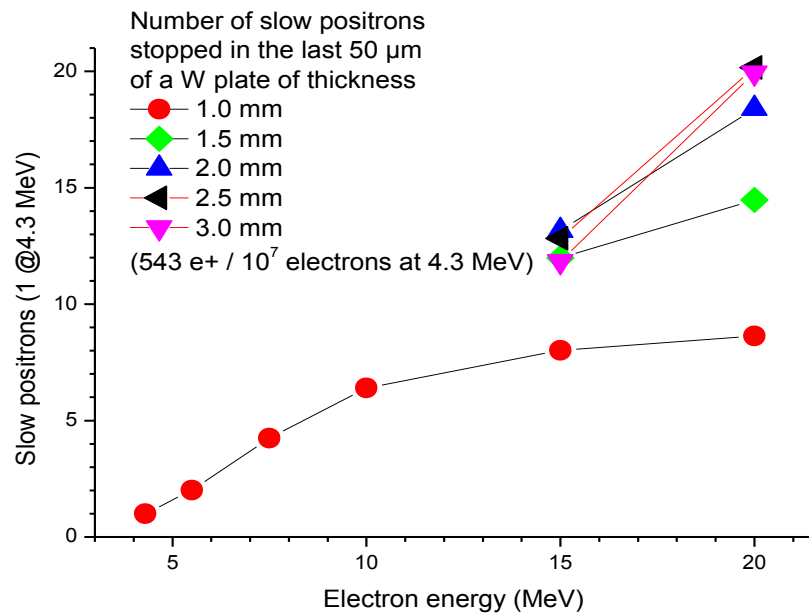
Slow positrons from Linac



Moderator:
Basic annealing of W meshes

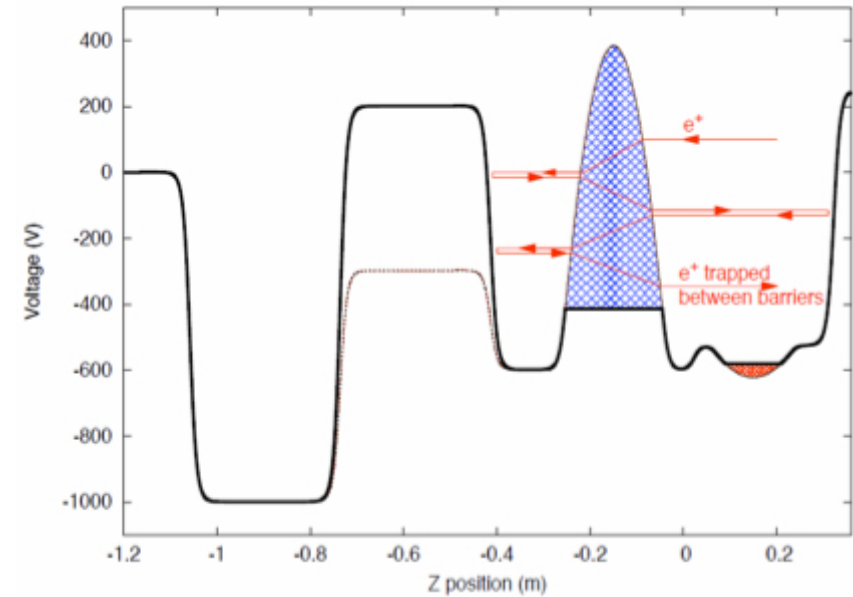
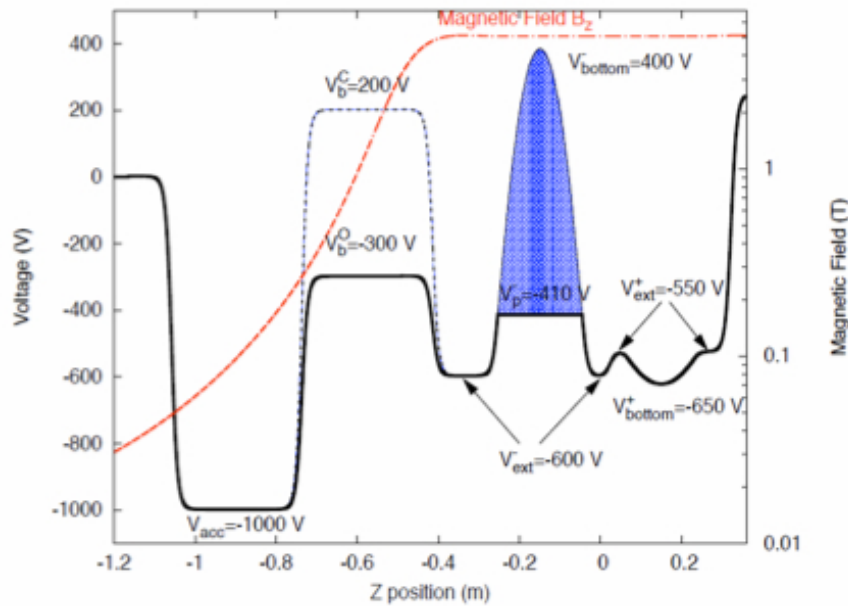
	Present slow e^+ rate	$3.2 \cdot 10^6 \text{ s}^{-1}$
	Extrap. to 10 MeV linac	$4.3 \cdot 10^7 \text{ s}^{-1}$
	target value	$2.8 \cdot 10^8 \text{ s}^{-1}$

Slow positron yield and heating power vs. energy



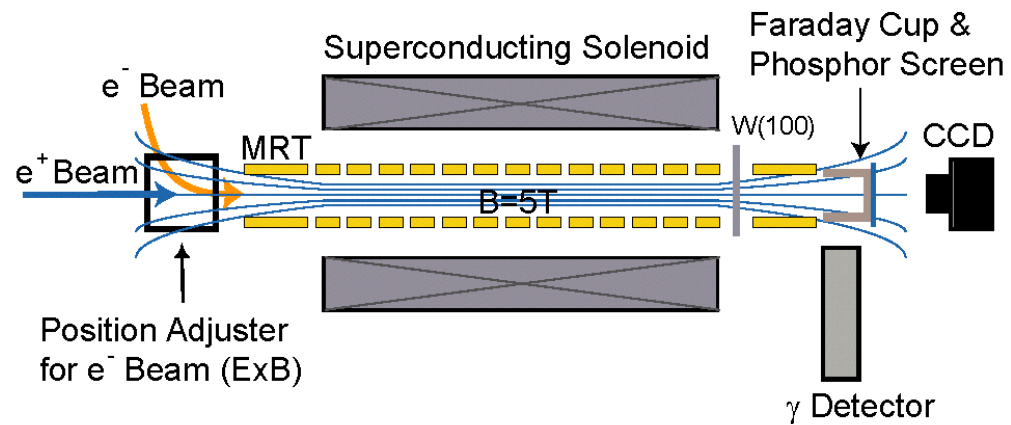
e^+ accumulation

RIKEN Penning trap adapted to pulses from Linac

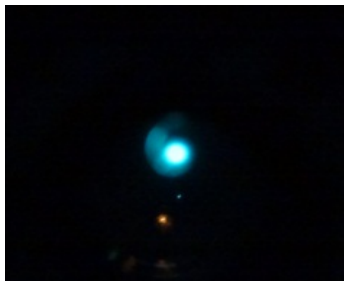
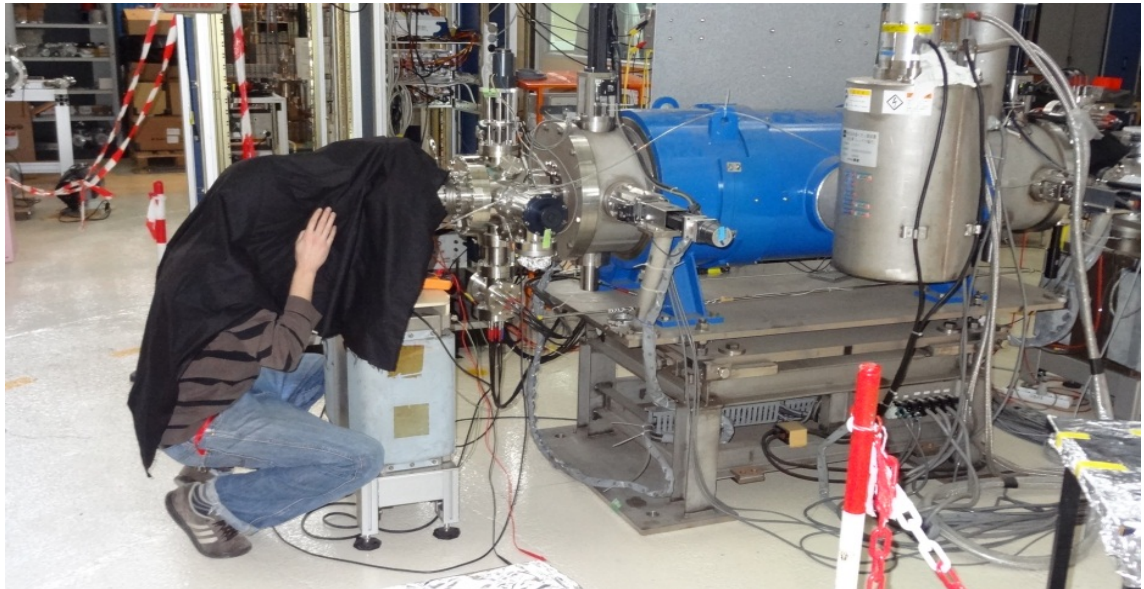


N. Oshima *et al.*,
Phys. Rev. Lett. 93, 196001 (2004)

P. Dupré, *Thesis, U. of Paris 6, (2011)*
Expect ~ 70 % trapping efficiency
 $2 \cdot 10^{10} e^+$ to be trapped

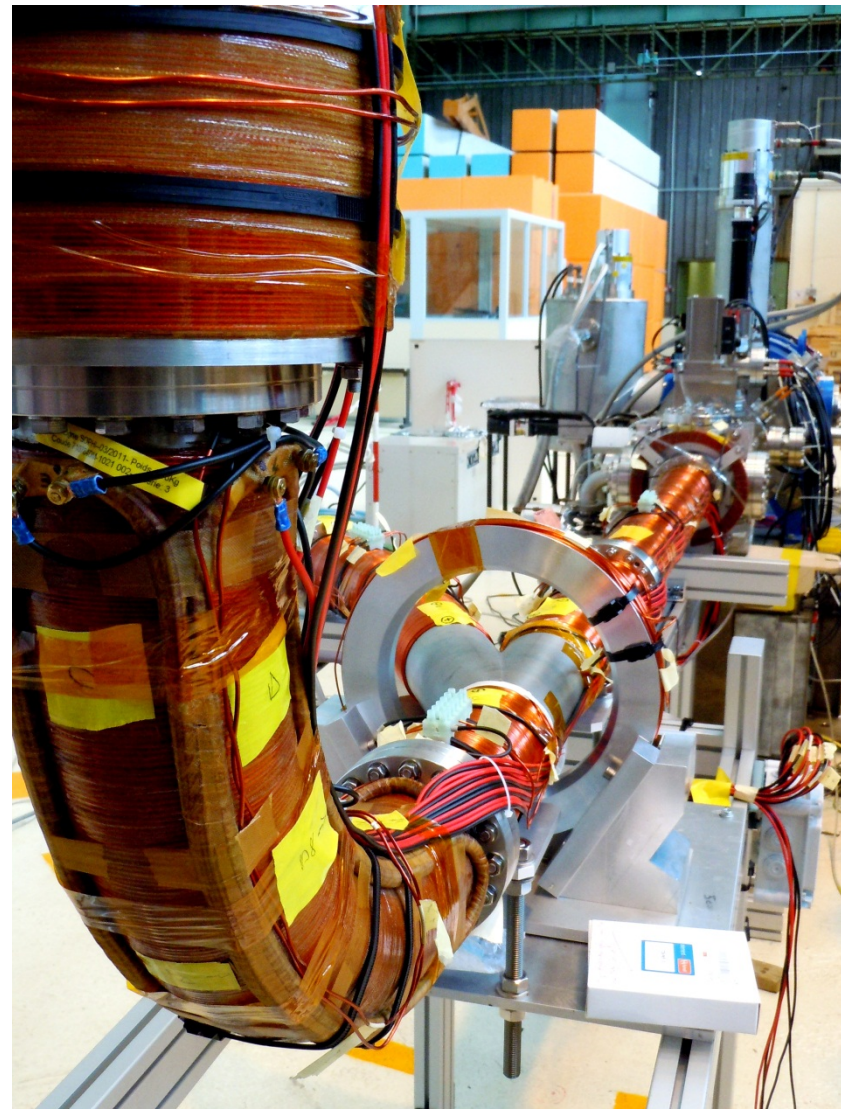


e^+ accumulation(2)

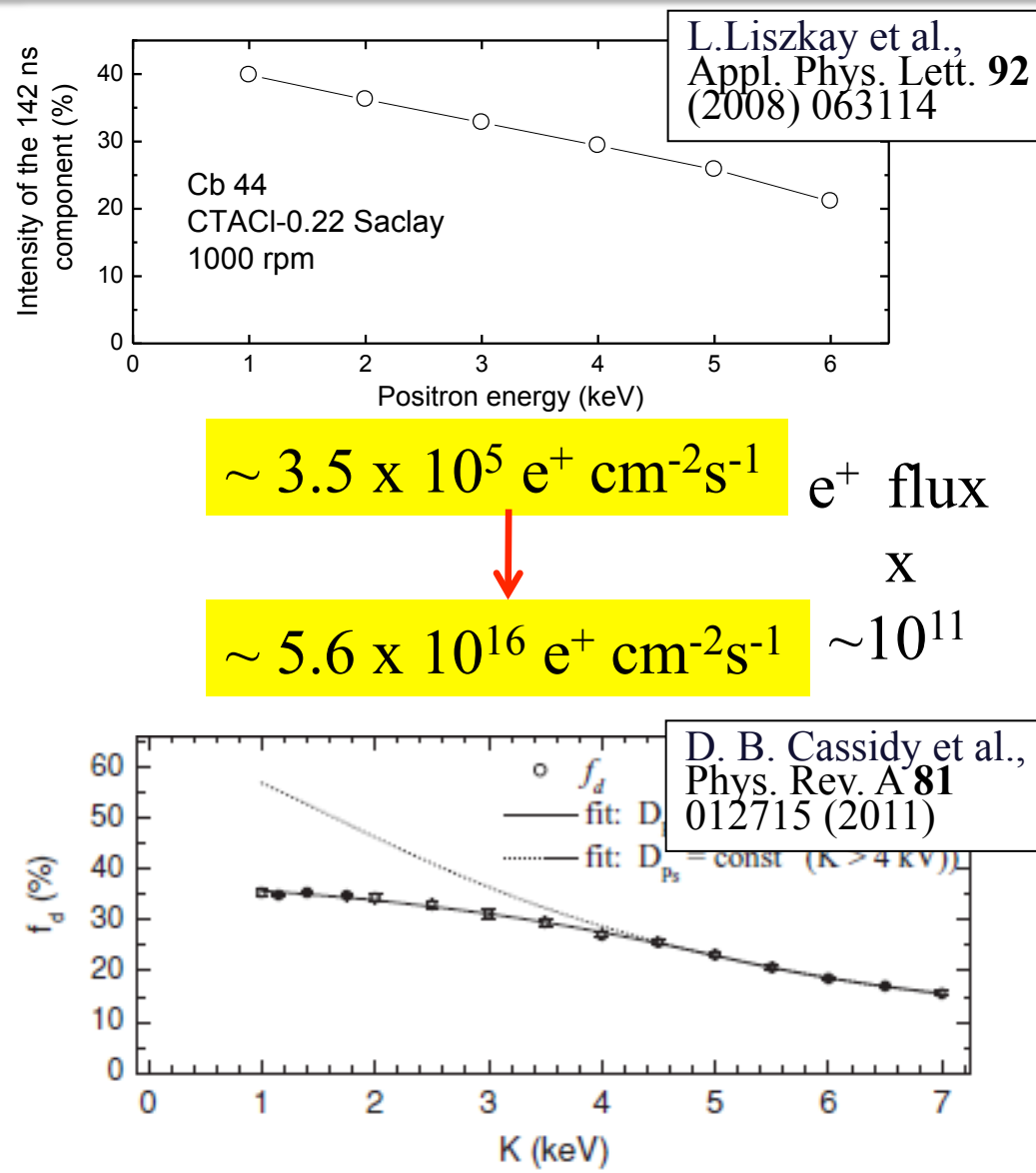
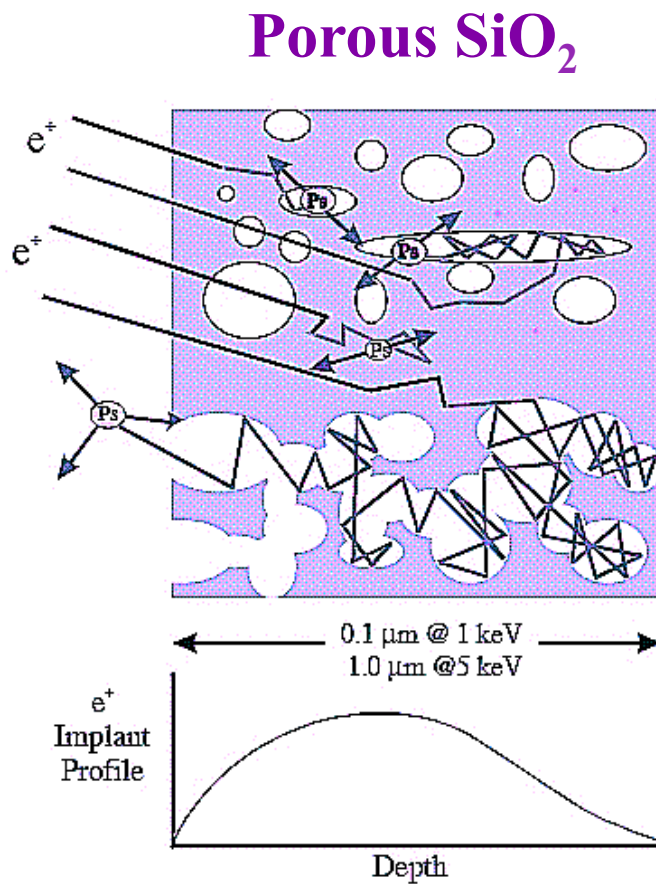


Electron spot coming from the electron gun on a phosphor screen

P. Grandemange, *These, (2013)*



Efficient $e^+ \rightarrow o\text{-Ps}$ conversion

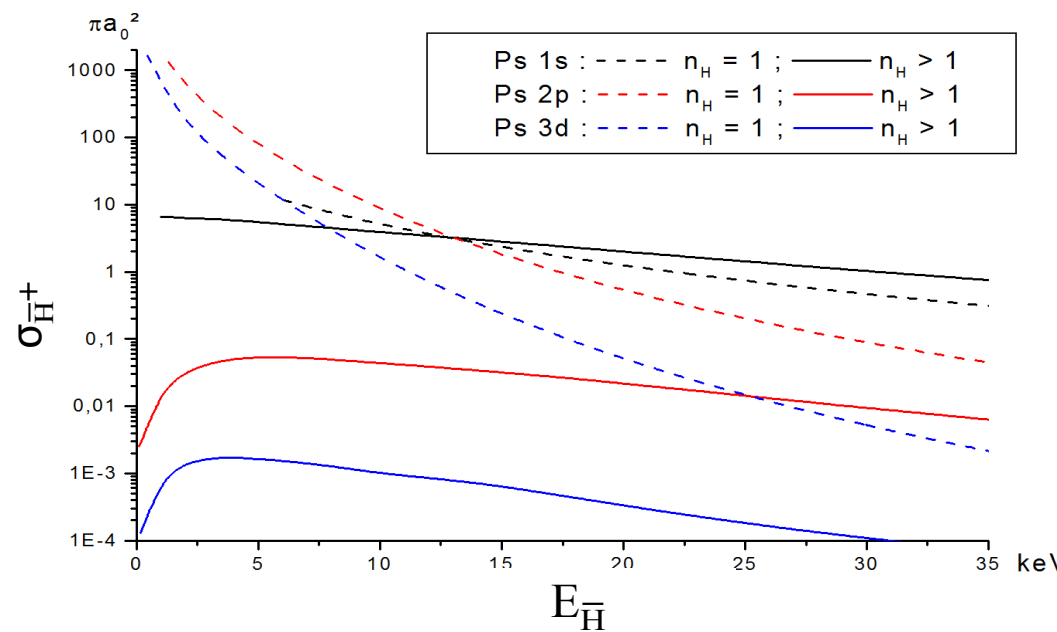
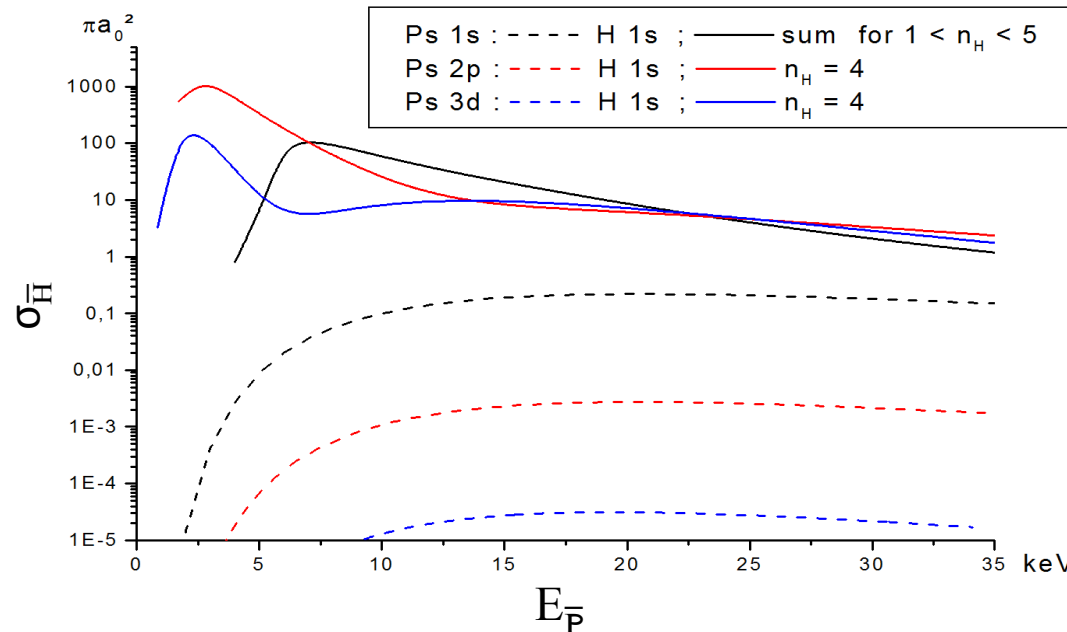


No loss in conversion efficiency in spite of the 10^{11} intensity factor

- 2 questions : énergie optimale des \bar{p} & état d' excitation optimal de Ps ?
- 2 réactions :
 - $\bar{p} + Ps(n_{Ps}, l_{Ps}) \rightarrow \bar{H}(n_H, l_H) + e^-$ (3-corps)
 - $\bar{H}(n_H, l_H) + Ps(n_{Ps}, l_{Ps}) \rightarrow \bar{H}^+ + e^-$ (4-corps)
- 1 même modèle théorique : **Continuum Distorted Wave Final State (CDW-FS)**
- Même niveau d'approximation pour les deux réactions
- CDW-FS en quelques mots :
 - Méthode perturbative avec description exacte des états asymptotiques : *état initial perturbé par un potentiel coulombien à courte portée ; les particules du continuum sont décrites par des fonctions d' onde de Coulomb, l' influence du potentiel coulombien réel à longue distance passant dans un terme de phase (d' où « distorted »).*
- Calculs pour les réactions inverses en matière ($\bar{H} \leftrightarrow H$; $\bar{H}^+ \leftrightarrow H^-$; etc)
- Outils principaux : développements en ondes partielles
- Étude de la réaction à 4 corps inspirée de :

J. Hanssen, P.-A. Hervieux, O.A. Fojón and R.D. Rivarola, *Phys. Rev. A* **63**, 012705 (2001),
Positronium formation in positron-metastable-helium collisions

Sections efficaces production \bar{H} & \bar{H}^+

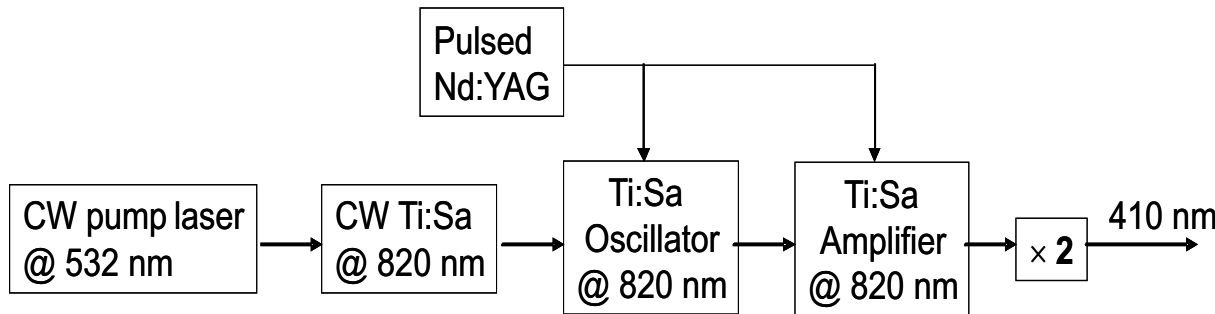


Ps excitation

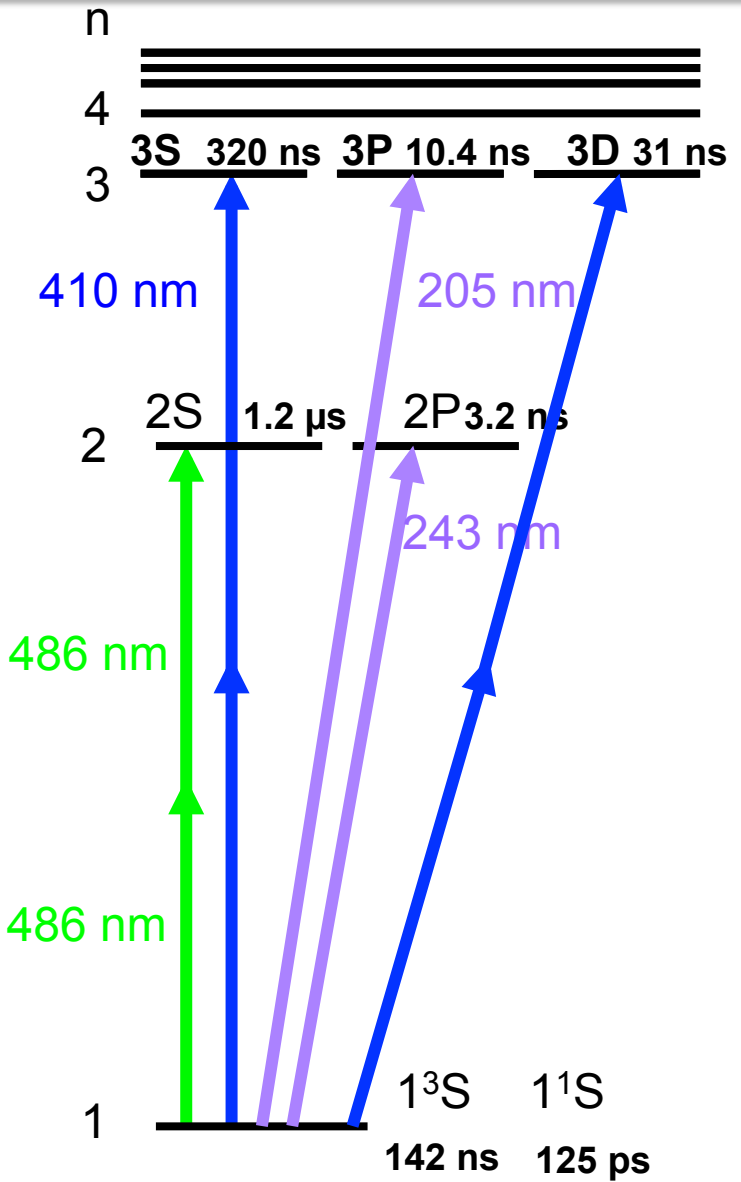
3D level 10 times less affected by photoionization than 3S level

Excite 50% of Ps

Expect gain > 100 in \bar{H}^+ cross section



Will be tested in Saclay at Penning trap exit



Echéances

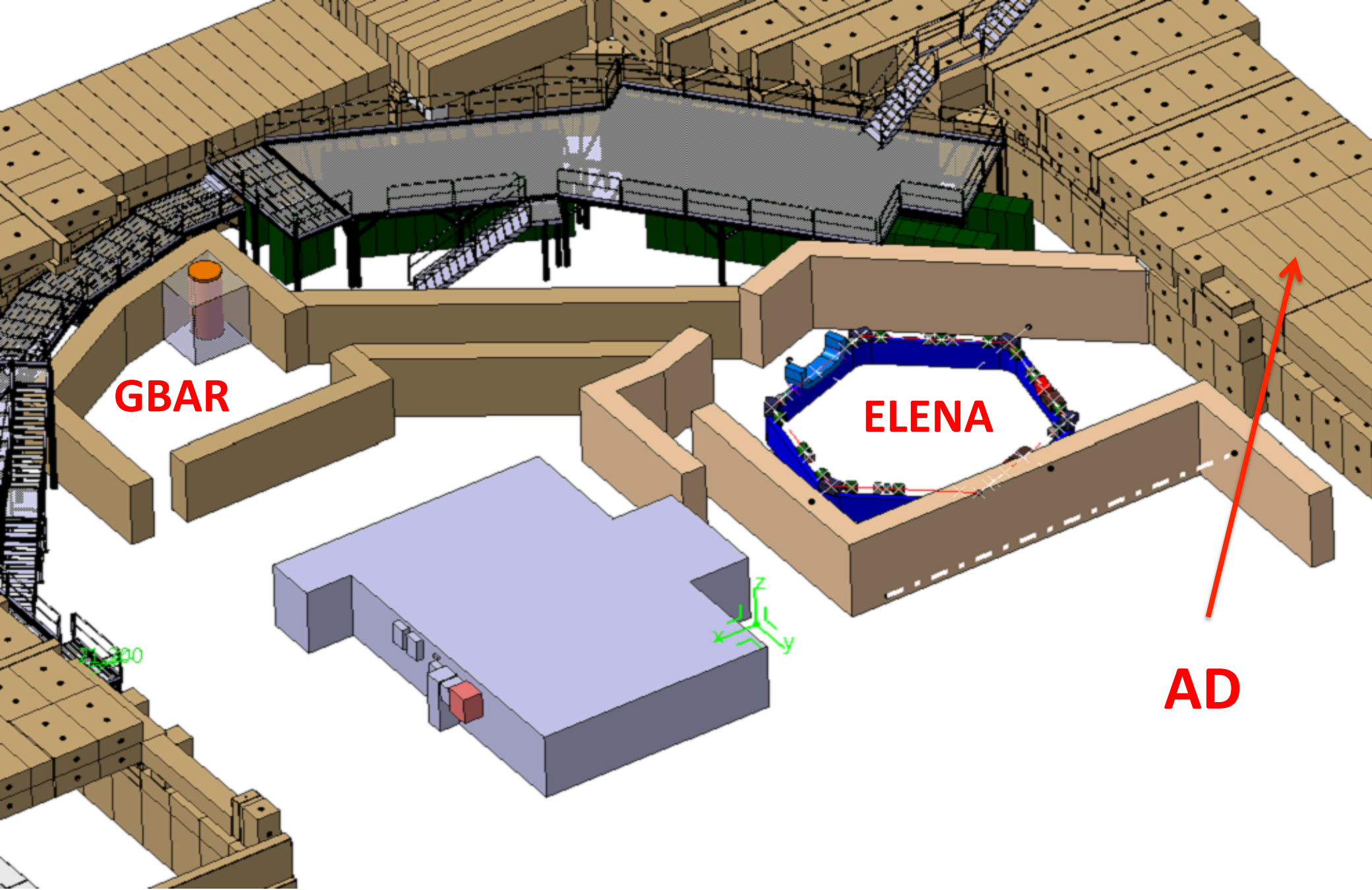
- | | |
|---------|---|
| 12/2012 | piégeage e ⁺ (collab. CSNSM, RIKEN, Swansea) |
| 12/2013 | formation d'une cible de Ps (collab. ETHZ)
ralentissement des (anti)protons (collab. CSNSM-P2IO) |
| 12/2014 | excitation Ps (collab. LKB)
possibilité de mesurer les sections efficaces "matière" |

Collaboration GBAR

<i>G. Chardin, P. Dupré, P. Grandemange, D. Lunney, V. Manea</i>	CSNSM, CNRS – Orsay , France
<i>A. Badertscher, P. Crivelli, A. Curioni, A. Marchionni, B. Rossi, A. Rubbia</i>	ETHZ, Zürich, Switzerland
<i>V. Nesvizhevsky</i>	ILL, Grenoble, France
<i>P-A. Hervieux, G. Manfredi</i>	IPCMS, Strasbourg, France
<i>P. Comini, P. Debu, L. Liszkay, , B. Vallage B. Mansoulié, P. Pérez, J-M. Rey, Y. Sacquin</i>	IRFU, CEA, Saclay, France
<i>J. Walz, F. Schmidt-Kaler</i>	Johannes Gutenberg Universität, Mainz, Germany
<i>A. Voronin</i>	Lebedev Phys. Institute, Moscow, Russia
<i>F. Biraben, P. Cladé, A. Douillet, A. Gérardin, S. Guellati, L. Hilico, P. Indelicato, A. Lambrecht, R. Guérout, J-P. Karr, F. Nez, S. Reynaud, V-Q. Tran</i>	Laboratoire Kastler-Brossel, CNRS – Paris, France
<i>S. Wronka, M. Staszczak</i>	Narodowe Centrum Badań Jądrowych (NCBJ), Otwock-Świerk , Poland
<i>A. Mohri, Y. Yamazaki</i>	Atomic Physics Laboratory, RIKEN, Japan
<i>M. Charlton, S. Eriksson, N. Madsen, D.P. van der Werf</i>	Swansea University, UK
<i>N. Kuroda, H. Torii</i>	University of Tokyo, Japan
<i>Y. Nagashima</i>	Tokyo University of Science, Japan
<i>P. Froelich</i>	Uppsala Universitaet, Sweden

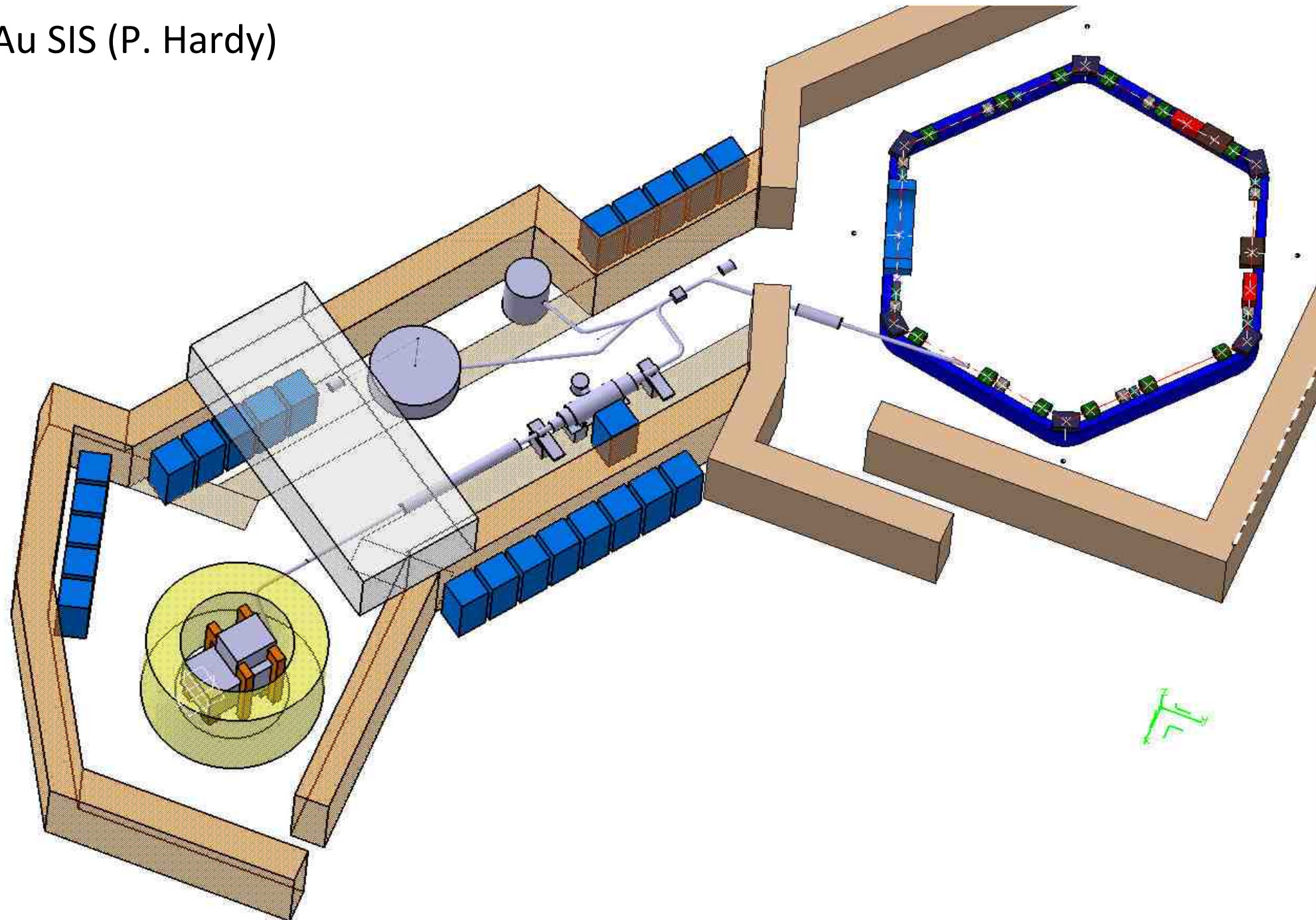
GBAR au CERN

- Proposal CERN-SPSC-P-342, 30/09/2011
- SPSC → MoU → réunion de collaboration 28/06
- RB → 30/05 → **GBAR accepté**,
mais ELENA retardé 1 an (2017)
- Premières interactions avec équipe AD/ELENA
 - Estimation des besoins en services
 - Plan d'implantation ← SIS-BE



AD

Au SIS (P. Hardy)



Organisation de la collaboration

- 6 réunions plénières au LKB et au CERN
- MoU en préparation
 - Structure décisionnelle
 - Engagements financiers pour la construction

March 2012

Memorandum of Understanding

for the Construction of the GBAR/AD-XXX Experiment

between

The EUROPEAN ORGANIZATION FOR NUCLEAR RESEARCH, "CERN",
an Intergovernmental Organization having its seat at Geneva, Switzerland,
as Host Laboratory

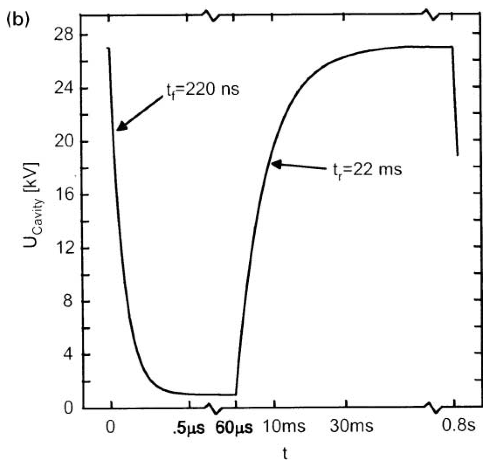
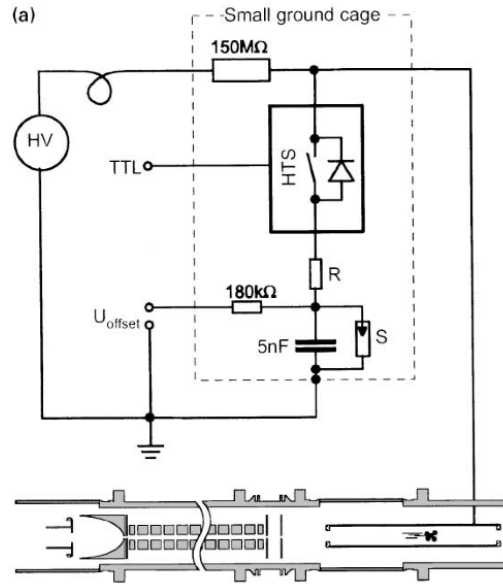
on the one hand,

and

the Collaborating Institutions/Funding Agencies of the GBAR Collaboration

on the other hand.

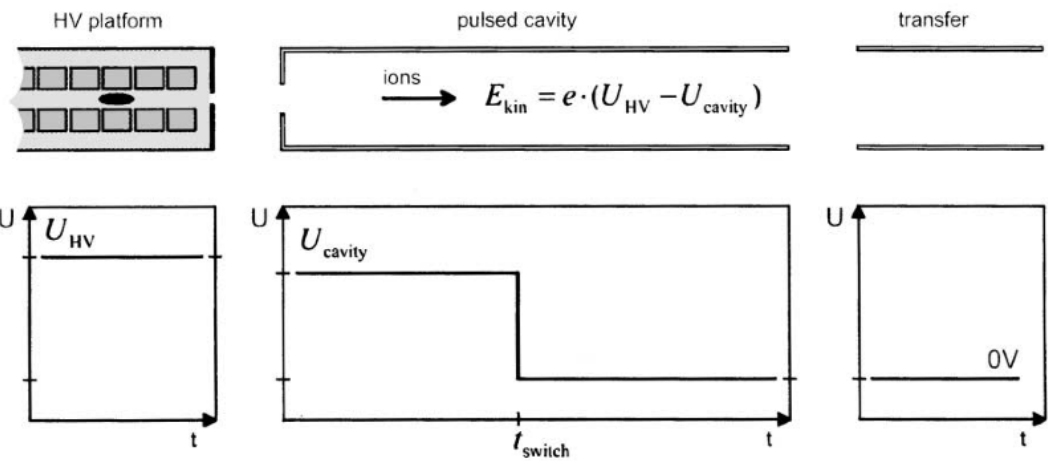
\bar{p} deceleration



From 100 keV (ELENA) \rightarrow 1 keV

Scheme adapted from ISOLTRAP
F. Herfurth et al., NIMA 469 (2001) 254.

drift tube



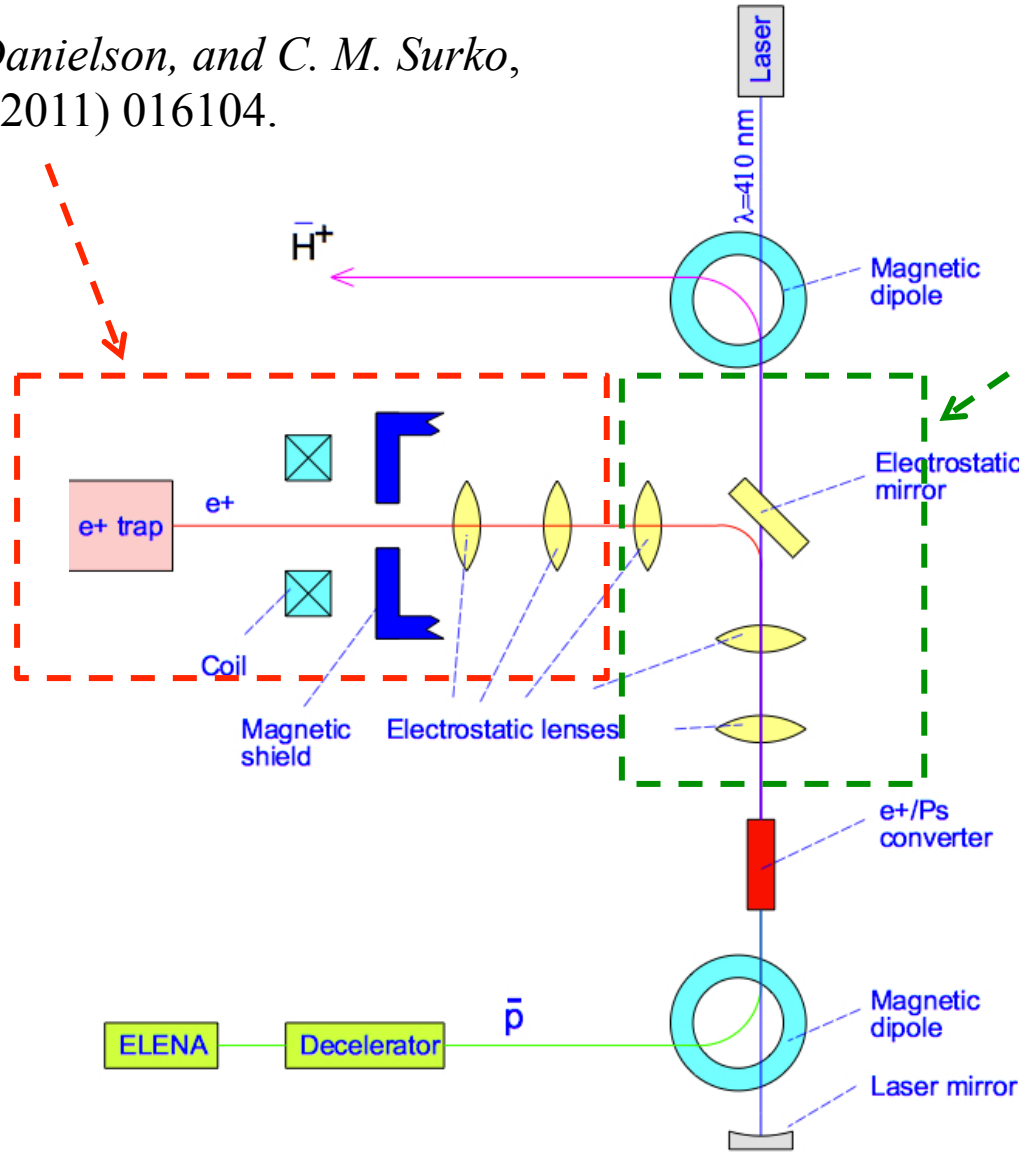
simulation underway for emittance optimization
 \bar{p} accumulation trap can be added

Reaction region

T. R. Weber, J. R. Danielson, and C. M. Surko,
Rev. Sci. Inst. **82**, (2011) 016104.

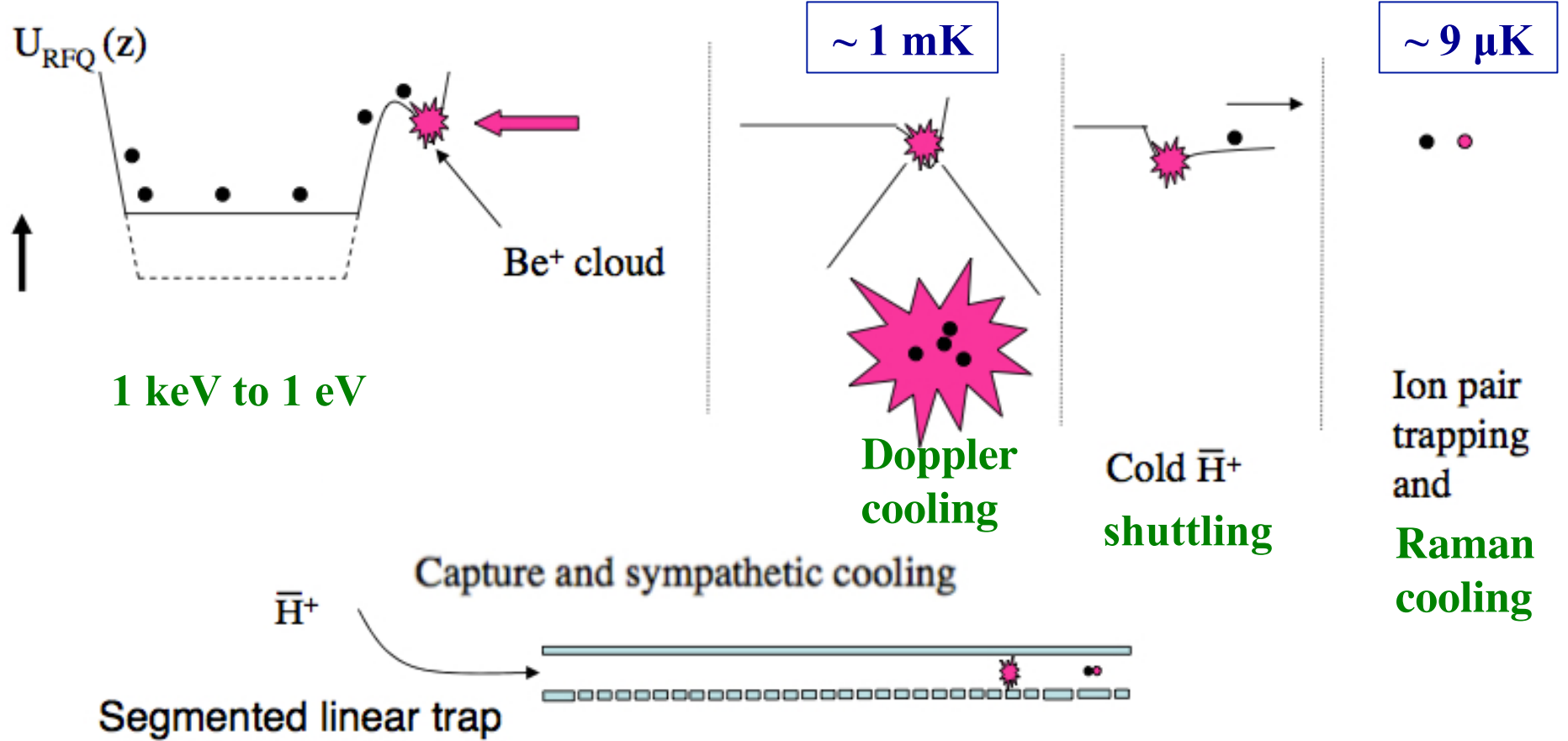
D. W. Gidley *et al.*,
in New Directions in Antimatter
Chemistry and Physics,
pp. 151-71 (2001).

30 eV, 5 μ s
↓
3 keV, 100 ns

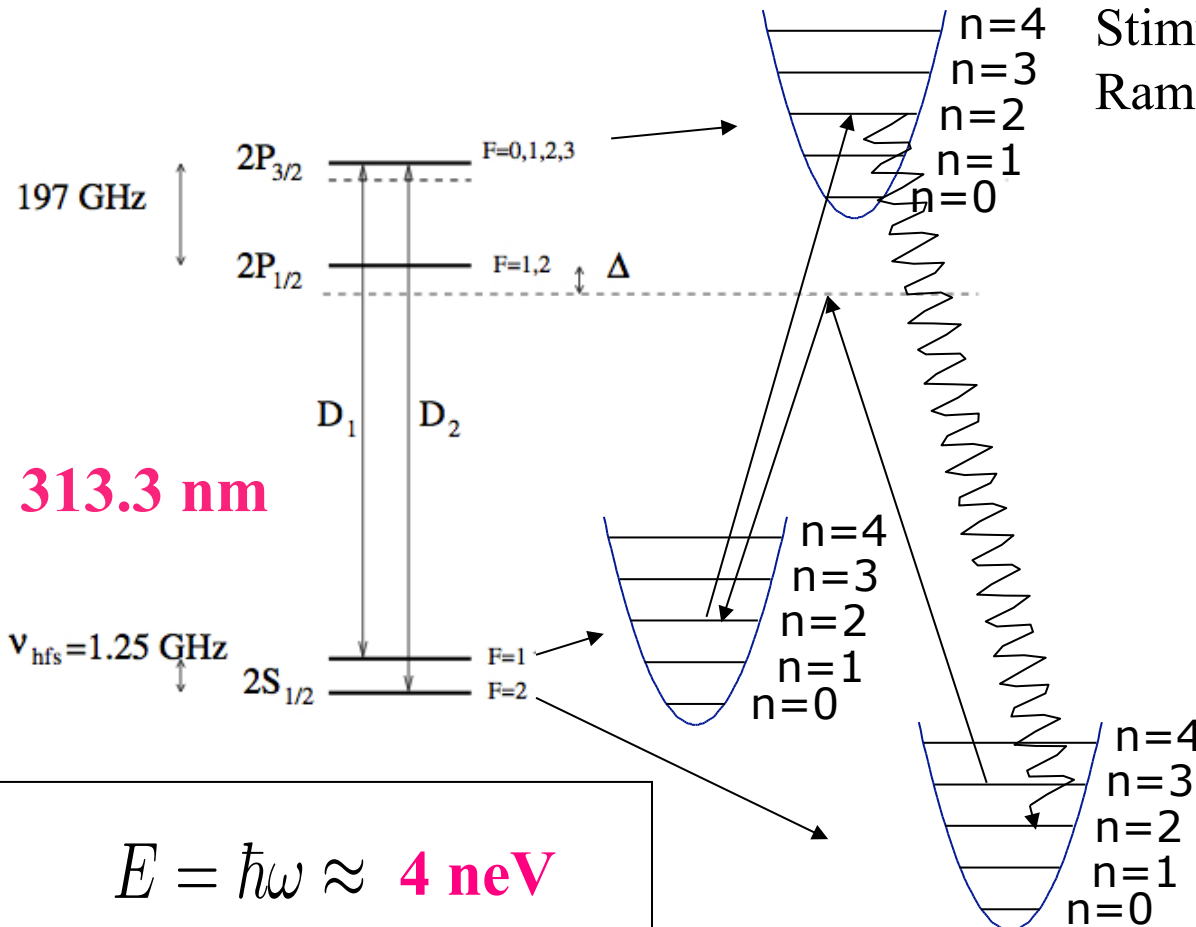


A. Chancé
(SACM)

\bar{H}^+ cooling challenge



sub-Doppler cooling



quantum
regime of
coupled
harmonic
oscillators

$$E = \hbar\omega \approx 4 \text{ neV}$$

$$\Delta v = \sqrt{\frac{\hbar\omega}{2m}} \approx 0.44 \text{ ms}^{-1}$$

Stimulated & Spontaneous Raman transitions

Cycle sequence:
 $F = 2, n$
 $\rightarrow F = 1, n-1$
 $\rightarrow F = 2, n-1$
 \dots
 $\rightarrow F = 2, n=0$

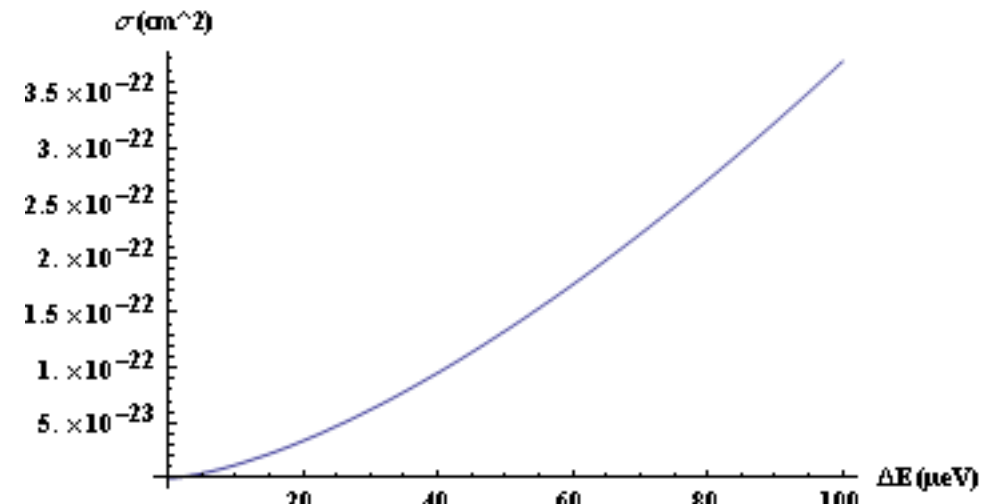
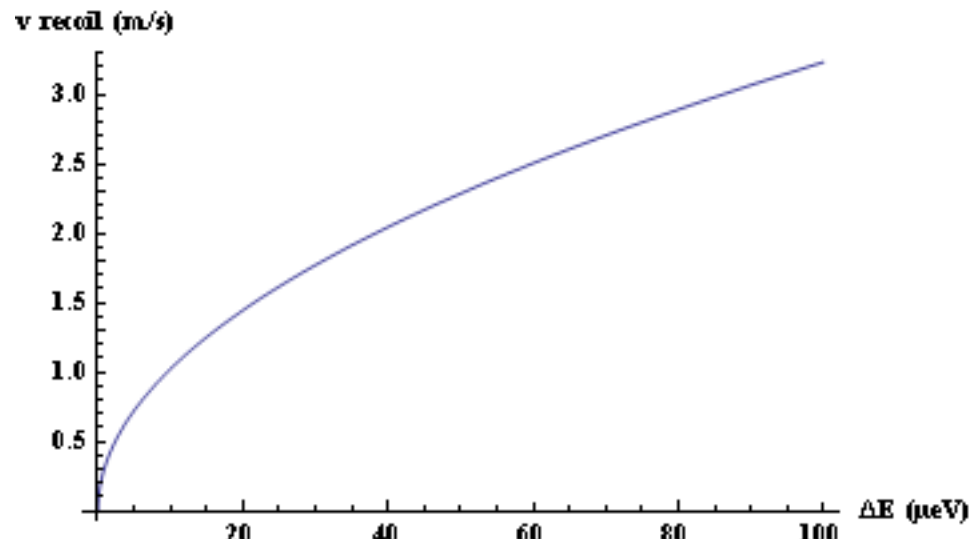
Photo detachment with minimal recoils

\bar{H}^+ binding energy 0.76 eV $\Rightarrow p_\gamma \sim 0.76 \text{ eV}/c$ close to threshold

Recoil due to absorption: $v_{\text{recoil}} = p_\gamma / m_H = 0.2 \text{ m/s} \Rightarrow 4 \text{ cm for } 0.2 \text{ s fall}$

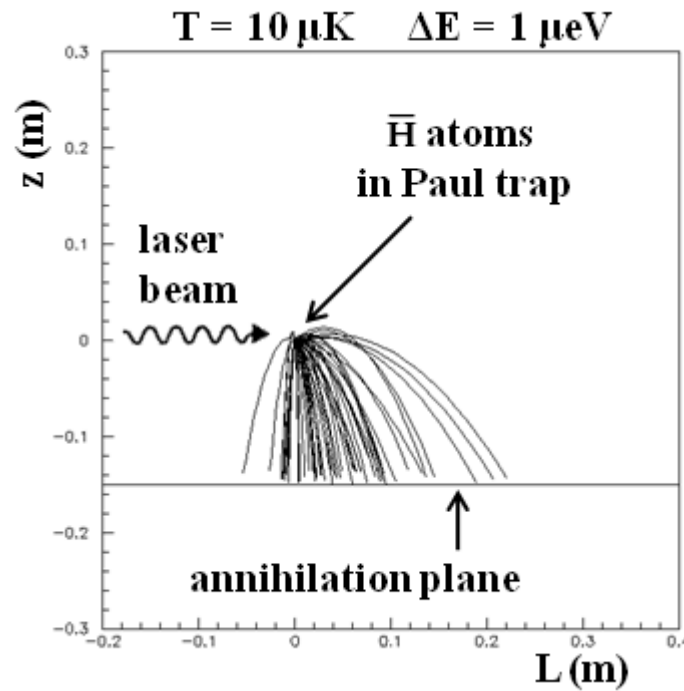
Recoil due to e^+ emission

$$E_c = E_\gamma - 0.76 \Rightarrow v_{\text{recoil}} = \sqrt{\frac{2m_e E_c}{m_H}} \sim 0.3 \text{ m/s for } E_c = 1 \mu\text{eV}$$

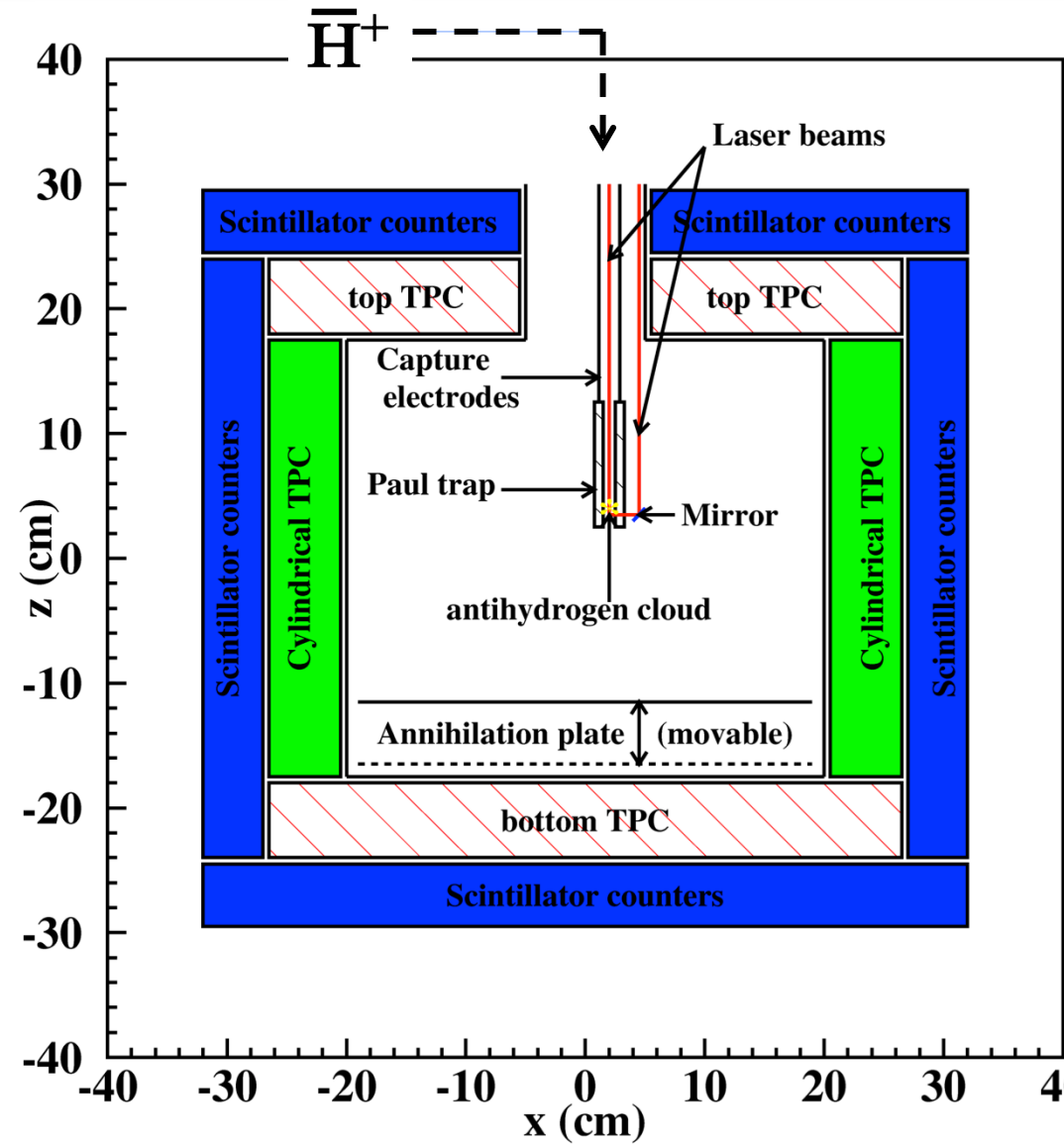


1 W laser, 150 μs shots, 99% efficiency

\bar{H} free fall detection



Detection	Requirement
TOF precision	150 μs
Annihil. vertex precision	2 mm
Background rejection	event topology



Echéances

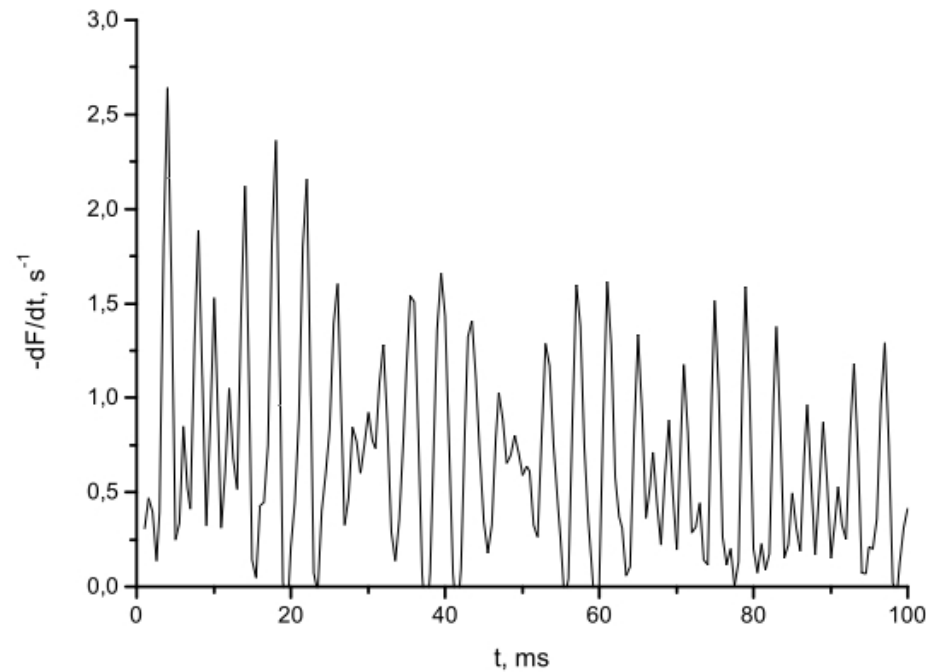
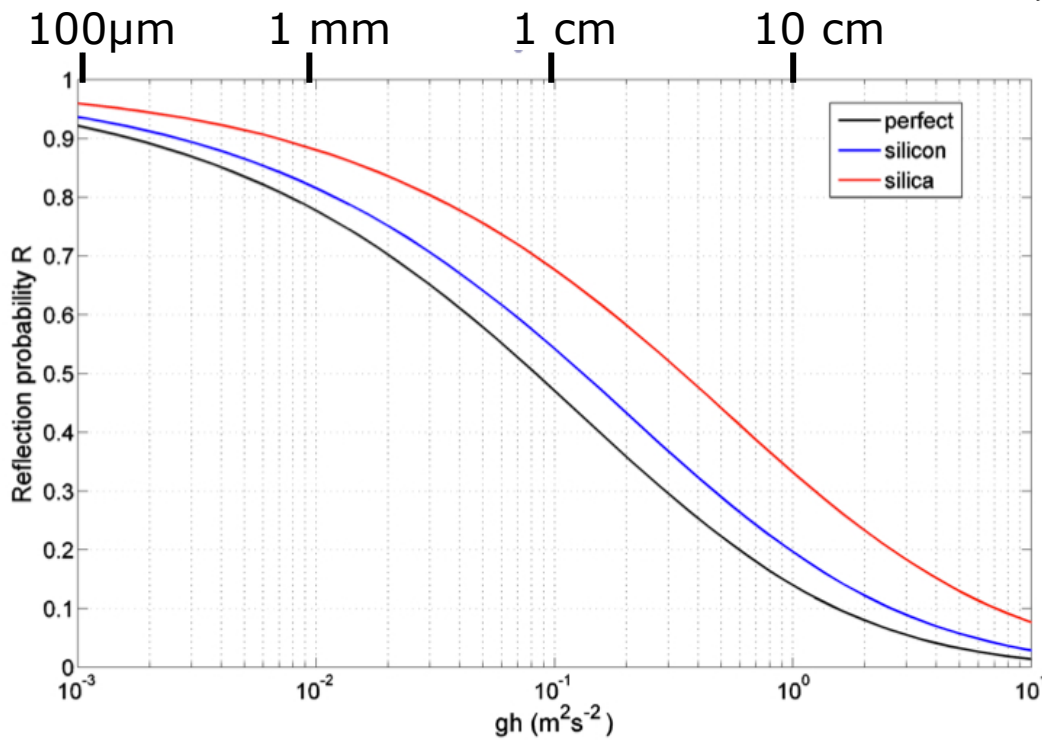
2012	MoU pour la construction de GBAR
12/2014	installation linac au CERN
2015	Commissioning
2016	Premiers faisceaux... et démarrage de la mesure de \bar{g}
2018	Spectroscopie gravitationnelle

Perspective: towards higher precision on \bar{g}

Improve precision on \bar{g} with spectroscopy of gravitational levels of \bar{H} :

- similar method as for UltraCold neutrons (ILL)
- only few events needed to reach $\sim 10^{-3}$ precision !

A. Yu. Voronin, P. Froelich, and V. V. Nesvizhevsky,
Antihydrogen Clock, Phys. Rev. A **83**, 032903 (2011)



GBAR et la concurrence

AEGIS a comme but une mesure de \bar{g} à 1%.

Approuvé par le CERN en 2008.

Commence installation en 2012 sur AD et bénéficiera d'ELENA en 2017.

Utilise \bar{H} neutre.

Avait prévu une température initiale de 100 mK et 10^5 évènements pour $\Delta\bar{g}/\bar{g} = 1\%$.

Rencontre des problèmes sur la faisabilité avec collisions sur Os^- .

Espoir d'atteindre 4K (méthode publiée par ATRAP en mars 2012)

Si très optimiste (tout le reste marche) $\rightarrow \Delta\bar{g}/\bar{g} = 40\%$ (si pas de bdf)

2012: commissioning e^+ & \bar{p} traps

2013: Cern shutdown (essais avec matière: mesure production H, IPNL)

2015-2016: possibilité de première mesure ?

GBAR utilise \bar{H}^+ qui peut être refroidi à 9 μK , 1500 évènements $\rightarrow \Delta\bar{g}/\bar{g} = 1\%$

Possibilité d'amélioration par spectroscopie gravitationnelle.

Pas de bruits de fond.

Utilisera ELENA qui sera mis en service en 2017.

ALPHA a tenté une mesure de la masse gravitationnelle de l'antihydrogène: $|m_g/m_i| < 100$

(non publié). Prévoit une adaptation pour mesurer \bar{g} mais pas encore de proposal. **ATRAP** commence à mentionner la gravitation dans ses buts de physique

ASACUSA n'en parle pas

Expected efficiencies

Electrons						
Linac frequency	Mean current	Pulse current	Pulse duration	Electrons per pulse	Electron rate (s^{-1})	
300 Hz	0.2 mA	0.33 A	2 μs	4.2×10^{12}	1.25×10^{15}	
Positrons						
Production efficiency (at 10 MeV)	Transport efficiency	Fast positrons per pulse	Fast positron rate (s^{-1})	Moderation efficiency	Slow positrons per pulse	Slow positron rate (s^{-1})
5.5×10^{-4}	80 %	1.8×10^9	5.5×10^{11}	5×10^{-4}	9.2×10^5	2.8×10^8
Positron storage						
Trapping efficiency	Injection time	Stored positrons				
70 %	110 s	2.1×10^{10}				
Positronium						
Production efficiency	Tube section	Tube length	Positronium density	Loss fraction from Ps decay		
35 %	1 mm^2	1 cm	$7.4 \times 10^{11} \text{ cm}^{-3}$	0.5		
Antihydrogen positive ions						
Antiprotons per pulse	Deceleration and bunching efficiency	Production cross section of the $\bar{\text{H}}$ atom	Production cross section of the $\bar{\text{H}}^+$ ion	$\bar{\text{H}}$ per pulse	$\bar{\text{H}}^+$ per pulse	
6×10^6	80 %	$4.4 \cdot 10^{-16} \text{ cm}^2$	$8.8 \cdot 10^{-15} \text{ cm}^2$	3.9×10^2	0.32	
Antihydrogen atoms						
$\bar{\text{H}}^+$ Trapping efficiency	Cooling efficiency	cold $\bar{\text{H}}^+$ per pulse	Photodetachment efficiency	Detector acceptance	$\bar{\text{H}}$ events per pulse	$\bar{\text{H}}$ event rate (s^{-1})
100 %	70 %	0.2	99 %	65 %	0.14	1.3×10^{-3}

Investissements à négocier

Work Package	Deliverables	Invest. Cost (k€)	Institutes
1- Management			IRFU, LKB, JGU
2- Fast e ⁺	Electron linac	500	NCBJ, IRFU
	Primary target	50	
3- Slow e ⁺	Neon moderator	-	IRFU, Swansea, TUS
	Tungsten moderator	20	
	Transport line	100	
4- e ⁺ accumulation	Input/output bunchers	200	RIKEN, IRFU, CSNSM, Swansea
	e ⁺ trap	-	
5- Positronium	e ⁺ /Ps converter development	60	LKB, IRFU, ETHZ
	excitation laser	370	
6- Antiproton deceleration	̄p decelerator and focus	87	CSNSM, IRFU, LKB, Tokyo
7- ̄H & ̄H ⁺ production	e ⁺ and ̄p transport to interaction region, ̄H & ̄H ⁺ detection	374	Swansea, IRFU, LKB
8- ̄H ⁺ cooling	313 nm sources	437	Mainz, LKB, ILL
	Traps and chamber	86	
	Photodetachment	127	
9- Detector	Trigger and veto scintillators, tracker system	500	ETHZ, IRFU, Mainz
10- Theory	Ps-H interactions, plasma trapping	20	IPCMS, Lebedev, Uppsala
11- Slow control, DAQ	Centralized slow control	270	IRFU
	DAQ	100	all
12- Installation at CERN		200	
13- Dissemination		-	
14- Quantum states	Granite support plate with active compensation, magnetic shield, clean room	300	ILL, All
Total		3801	

Ressources humaines

Work Package	A1 total	A2 total	A1 Irfu	A2 Irfu
1- Management	7		7	
2- Fast e ⁺	11.3	6.1	1.1	0.5
3- Slow e ⁺	13.8	1.6	3.7	0.7
4- e ⁺ accumulation	12.8	1.6	3.9	0.8
5- Positronium	19.1	4.5	3.4	0.4
6- Antiproton deceleration	12.1	5.5	0.25	0.5
7- \bar{H} & \bar{H}^+ production	9.9	1	1.25	
8- \bar{H}^+ cooling	26.4	11	0.25	
9- Detector	11.25	6.75	1.4	1.4
10- Theory	20			
11- Slow control, DAQ	17.5	11.3	11.5	5.3
12- Installation at CERN	16	17.4	7	5
13- Dissemination				
14- Quantum states	6	1		
Total	183.15	67.75	40.75	14.6

Hommes.an

Planning

	T1	T2	T3	T4	T1	T2	T3	T4	T1	T2	T3	T4	T1	T2	T3	T4
WP 2 fast e+																
									CDR							
Linac					D 2.1							L 2.1				
Target										L 2.2						
WP 3 slow e+																
W moderator					L 3.1											
transport line										L 3.2						
WP 4 trapping																
e+ Penning trap					D 4.1 & L 4.1											
output buncher										L 4.2						
input buncher										L 4.3						
WP 5 e+/Ps (*)																
dense Ps target									L 5.1							
Ps excitation					D 5.1							L 5.2				
WP 6 pbar deceleration																
prototype									L 6.1							
final													L 6.2			
WP 7 interaction region																
e+ & pbar transport													L 7.1			
detection													L 7.2			
WP 8 Hbar+ cooling																
313 nm source										L 8.1						
capture trap										L 8.2						
RF Paul trap					D 8.1								L 8.3			
photodetachment													L 8.4			
vacuum chamber & cryopump										L 8.5						
WP 9 Detector																
Scintillator Detection					D 9.1					L 9.1						
TPCs with F.E electronics													L 9.2			
Trigger										L 9.3						
WP 11 Slow control & DAQ																
Slow Control										L 11.1						
DAQ										L 11.2						
WP 12 CERN Installation																
cabling, shielding, laser huts...																
Safety																
WP 14 Quantum states																
granite, etc...													L 14.1			
clean room													L 14.2			

CDR

- CDR** Conceptual Design Report, including specifications for each object
PRR Product Readiness Review
- L 2.1 Linac commissioned at CERN
 - L 2.2 Water cooled target, with W moderator holder and in situ annealing
 - L 3.1 Tungsten moderator
 - L 3.2 Slow positron transport line from moderator to trap input buncher
 - L 4.1 e+ pulsed beam from linac accumulated in RIKEN trap
 - L 4.2 buncher for fast positron plasma extraction from RIKEN trap
 - L 4.3 incoming pulse from linac bunched to 100 ns
 - L 5.1 e+/Ps converter in which Ps form a dense target of 10^{12} at/cm³
 - L 5.2 Ps excitation laser beam focussed onto 1 mm diameter Ps target
 - L 6.1 prototype for decelerator tested with protons or H-
 - L 6.2 antiproton decelerator tested with H- ELENA beam
 - L 7.1 e+ and pbar beams focused onto Ps target
 - L 7.2 detectors for pbar, Hbar, Hbar+ & Ps, created in reaction chamber
 - L 8.1 laser for Be+ cooling
 - L 8.2 electrostatic deceleration and capture trap for Hbar+
 - L 8.3 RF Paul trap for Be+ and Hbar+ cooling
 - L 8.4 1665 nm laser for photodetachment of Hbar+ at threshold
 - L 8.5 cryopumped vacuum chamber for free fall measurement
 - L 9.1 scintillators equipped with PM and power supplies
 - L 9.2 TPC for reconstruction of Hbar annihilation vertex
 - L 9.3 trigger system
 - L 11.1 slow control of entire experiment
 - L 11.2 DAQ for entire experiment
 - L 14.1 hardware for quantum states detection
 - L 14.2 clean room for quantum states hardware mounting

D 2.1 PRR for Linac

D 4.1 e+ accumulation with single trap OK

D 5.2 Choice of Ps excitation laser wavelength and antiproton energy

D 8.1 Paul trap geometry (planar/tubular)

D 8.4 Optimal photodetachment energy (impact D 9.1)

D 9.1 Choice of detector and vacuum chamber sizes

specification
conception
procurement
realisation
tests
integration



Planning

(ms project, copyright R. Aleksan)

Requêtes

- *Approbation de GBAR par le CERN → projet IRFU avec "chef de projet" a plus de 50%*
- *support financier de l'IRFU pour les expériences à Saclay: "cabane expérimentale" dans Hall 126 (70 k€) ~50 k€ par an 2013-2015 et ~ 25 k€ par an de missions*
- *contribution de l'IRFU pour la construction de GBAR*

Backups

Increase cross-section of $\bar{H} + Ps \rightarrow \bar{H}^+ + e^-$

use Ps excitation

Calculations for $n = 2$ by:

S. Roy and C. Sinha, Eur. Phys. J. D 47, 327 (2008).

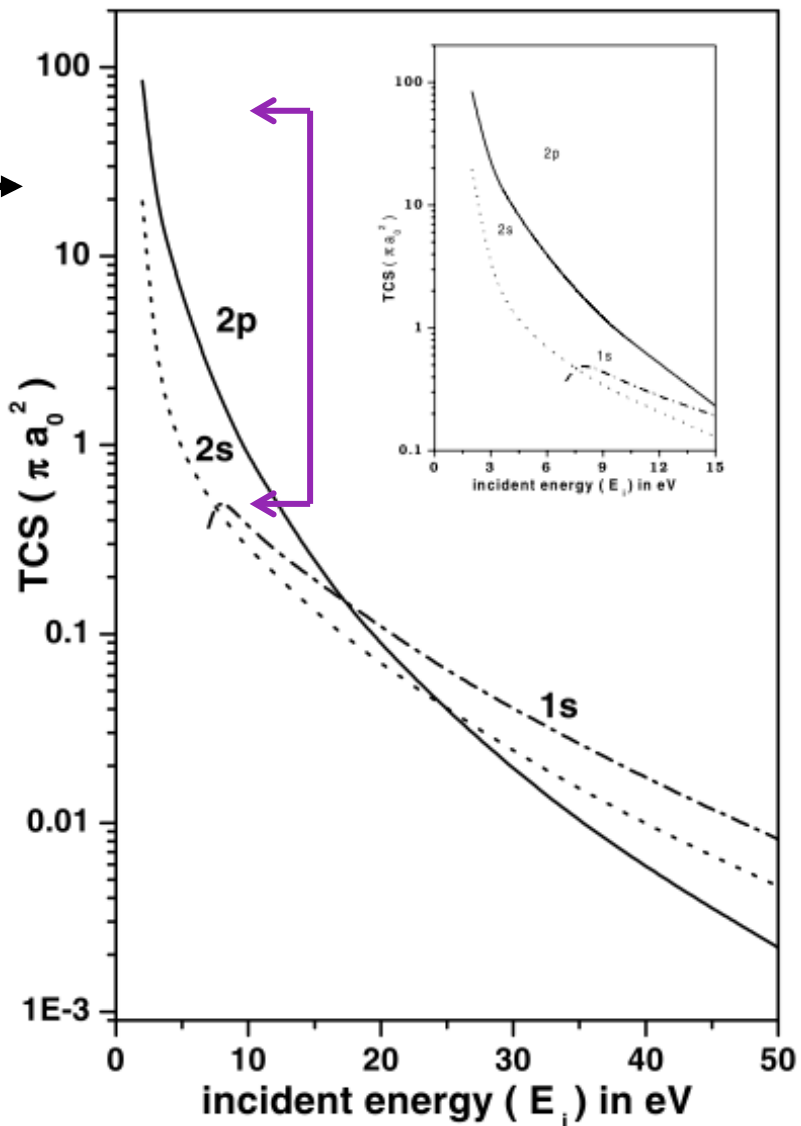
Binding energy of $H^- = 0.76$ eV

\approx same as Ps ($n=3$)

↓
Resonant enhancement

↓
Excite fraction of Ps to $n=3$

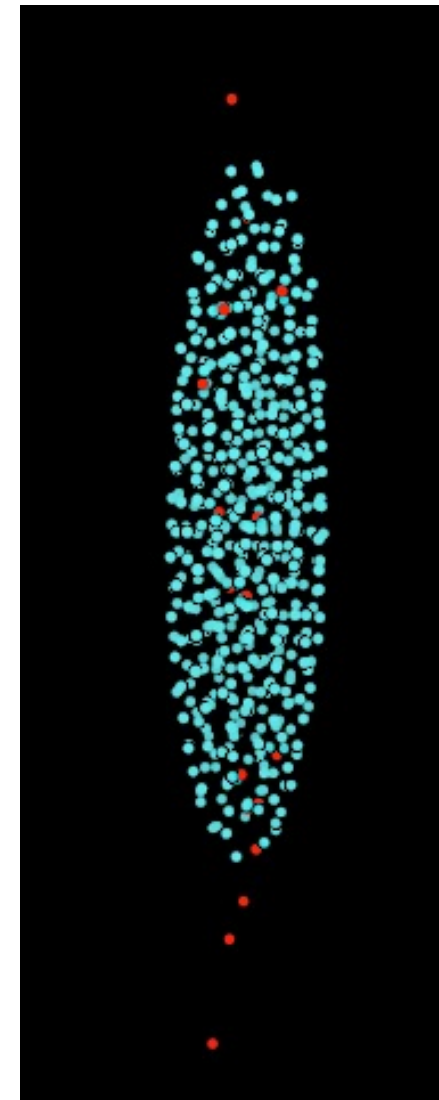
calculations underway for $n = 3$
to optimize \bar{p} incident energy
We take: $8 \cdot 10^{-15} cm^2$



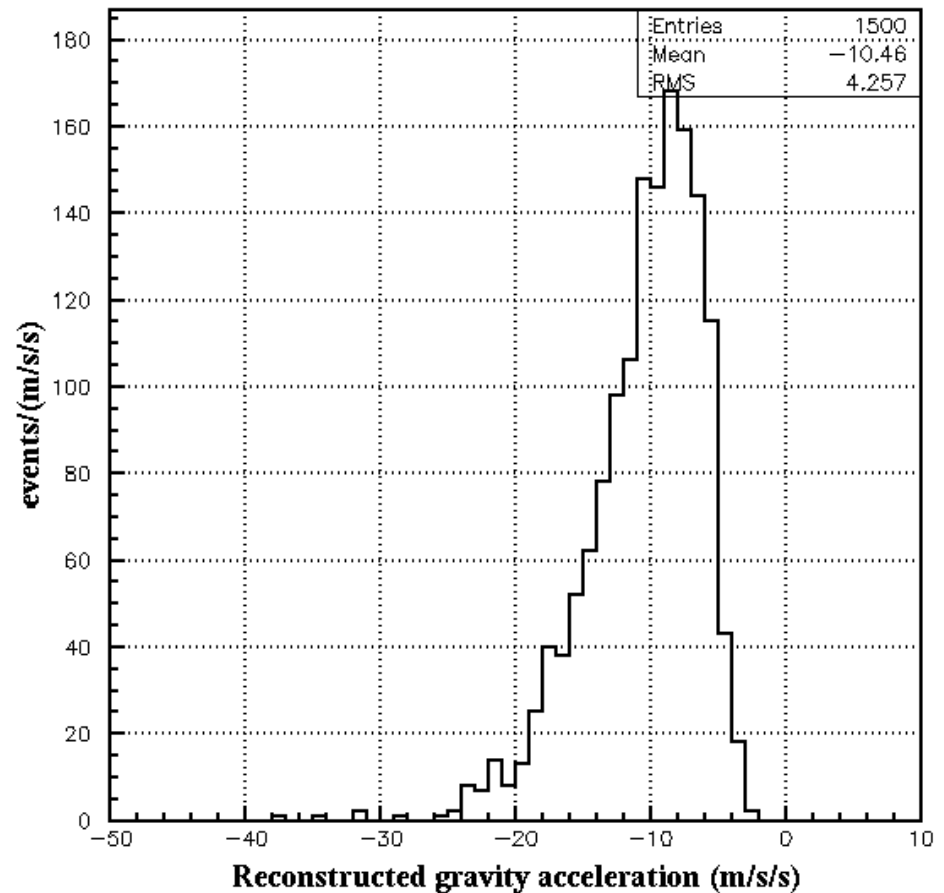
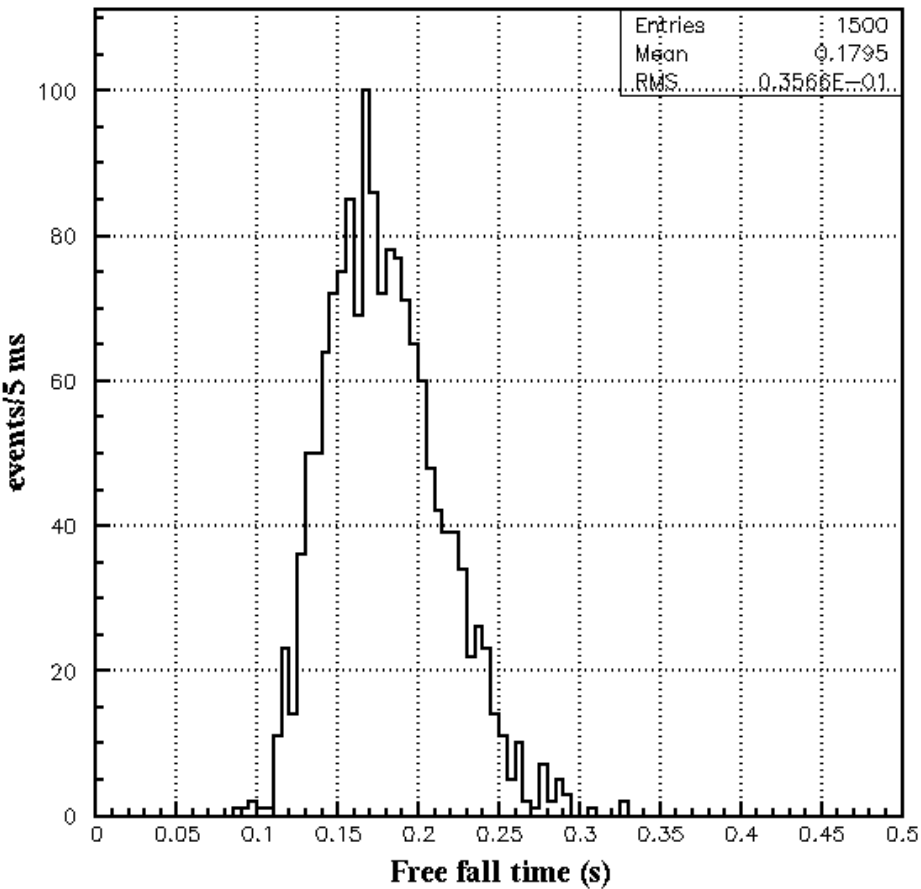
$\overline{\text{H}}^+$ sympathetic cooling

Simulation of Be^+ cooling in RF trap
with micro-motion

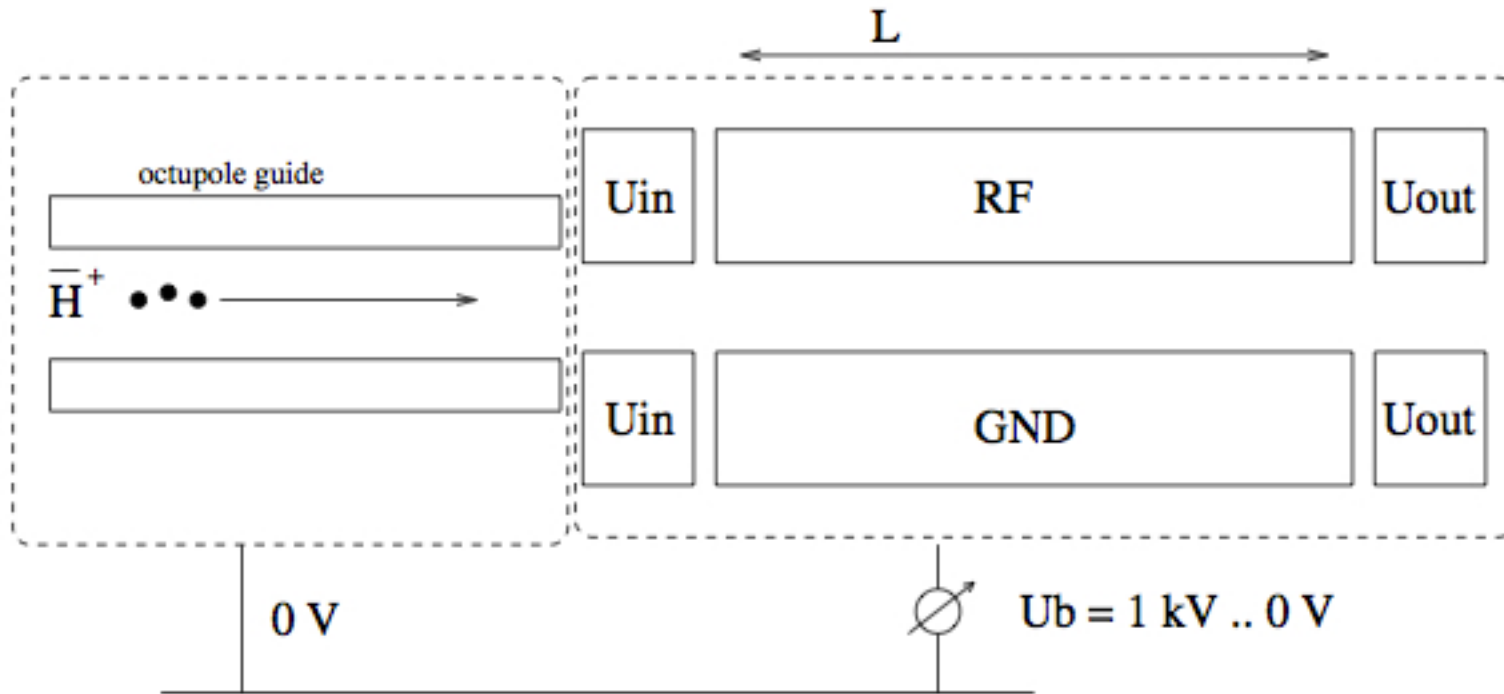
→ determine trap parameters



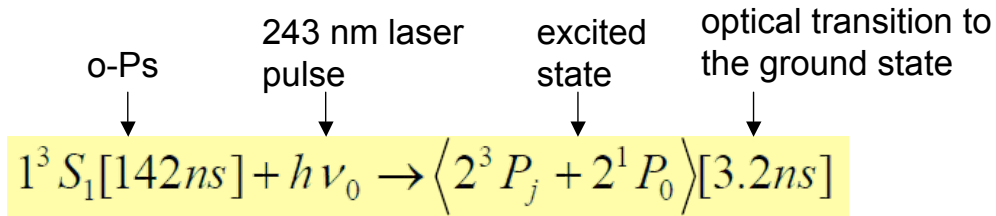
Free fall simulation



\bar{H}^+ deceleration



Emission of o-Ps from single shot lifetime measurement



in magnetic field:

~ 12 % decays to singlet state (with short lifetime)

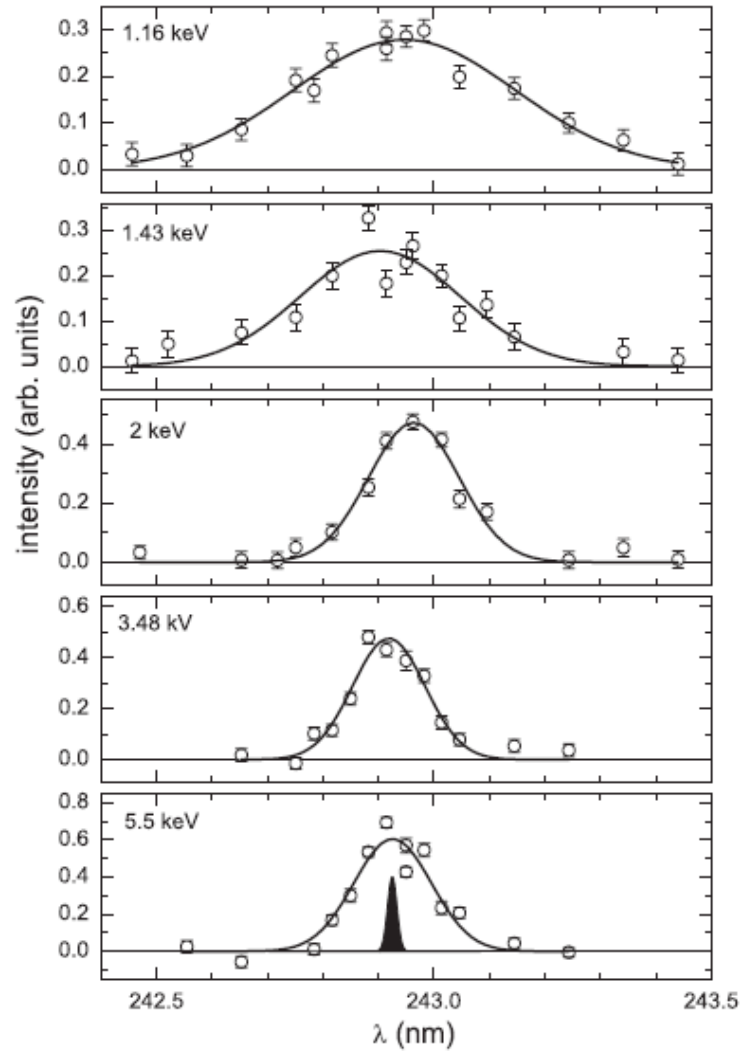
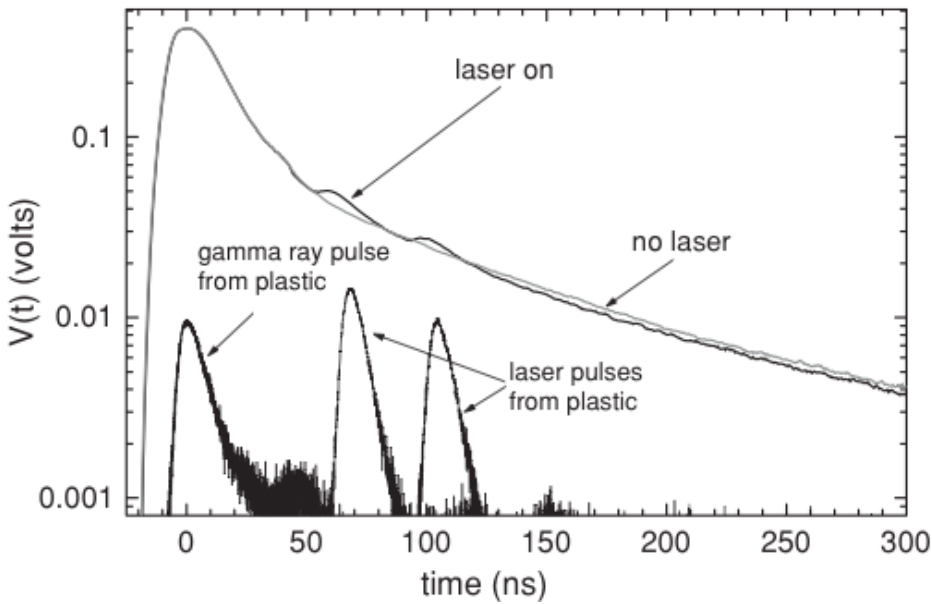
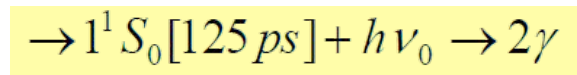
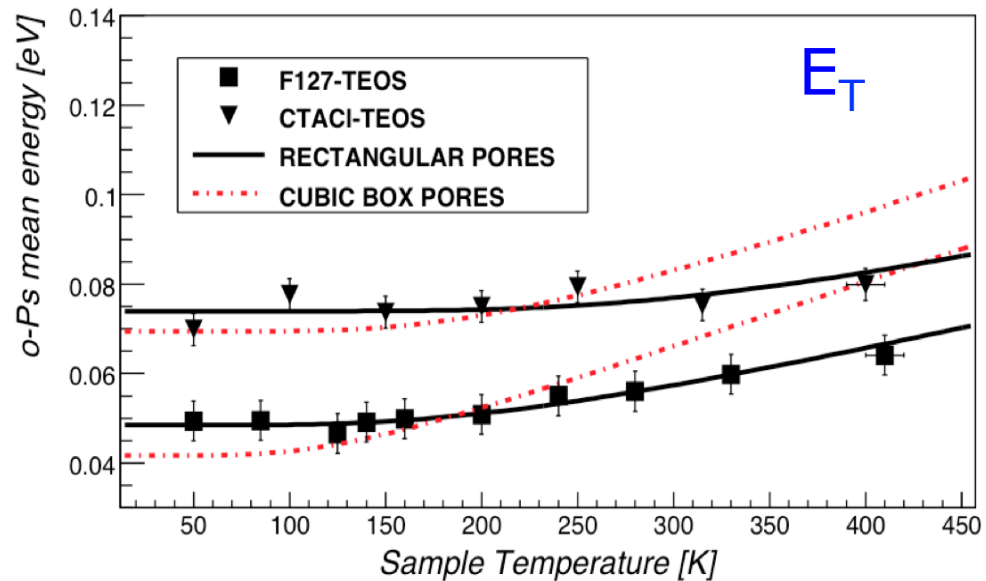


FIG. 9. Linewidth of the 1^3S-2^3P excitation of positronium

Energy of o-Ps : comparison CERN/UCR

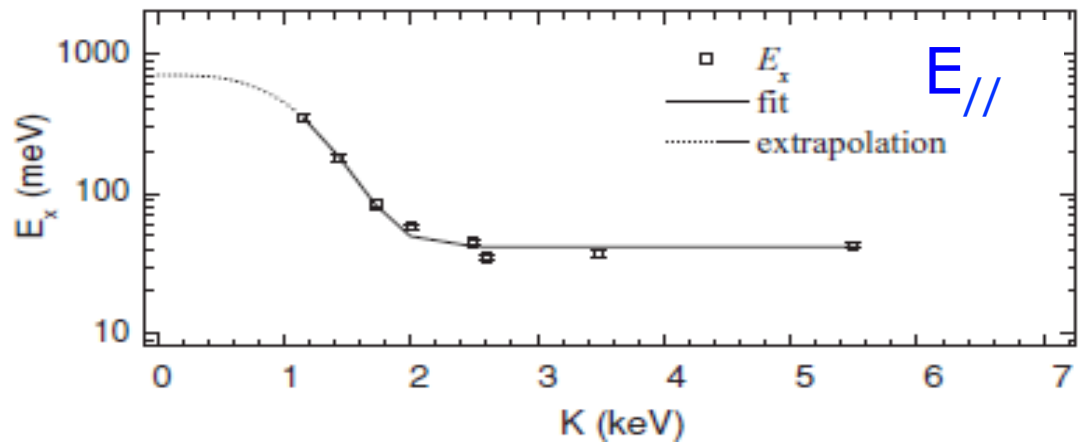
Measurement at CERN

P. Crivelli et al., Phys. Rev. A **81**, 052703 (2010)



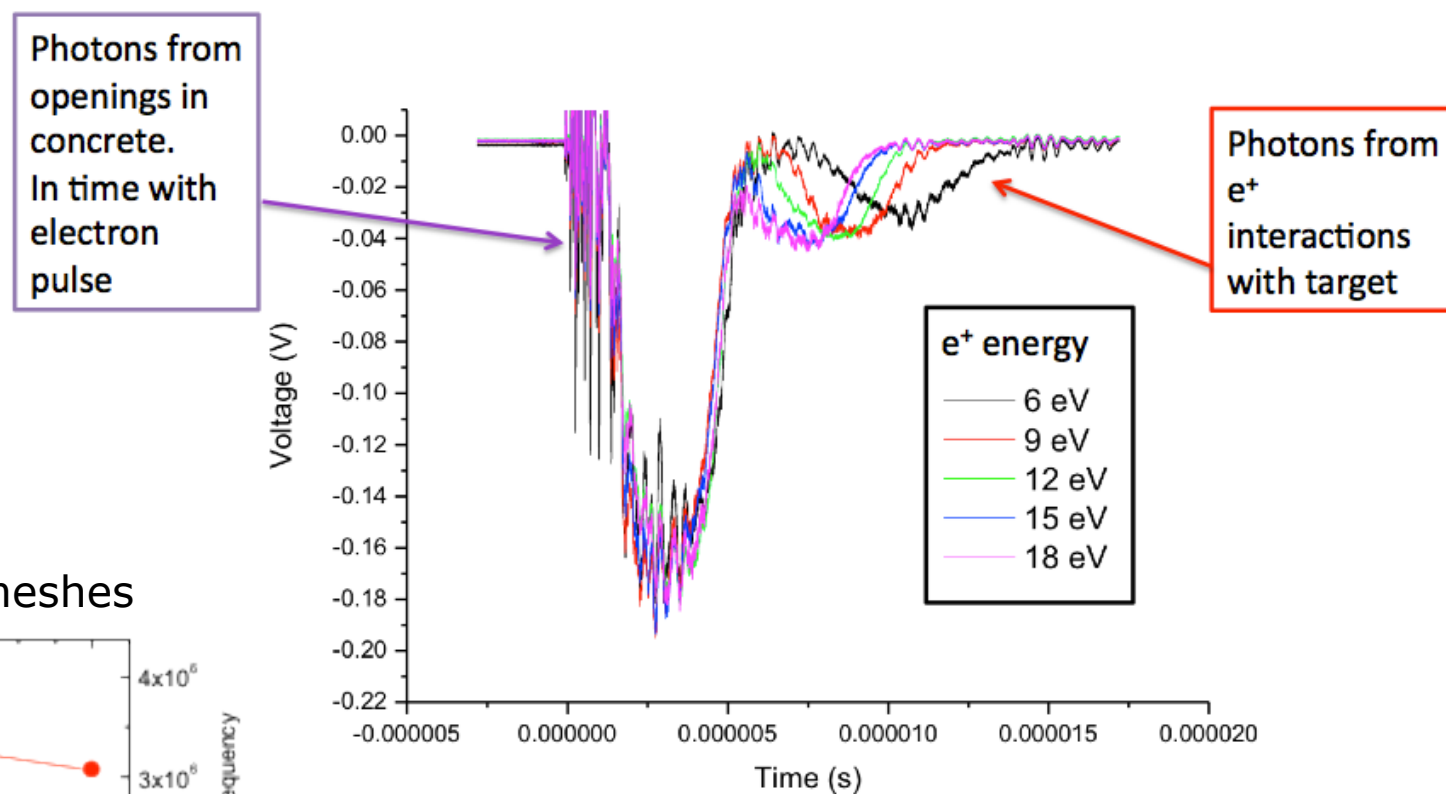
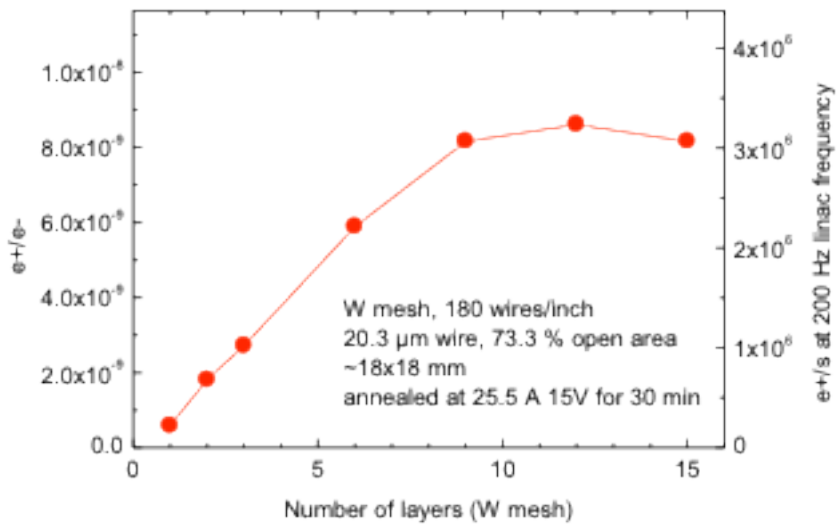
Measurement at UCR

D. B. Cassidy et al., Phys. Rev. A **81**, 012715 (2010).



Detection of slow positrons from Linac

Basic annealing of W meshes



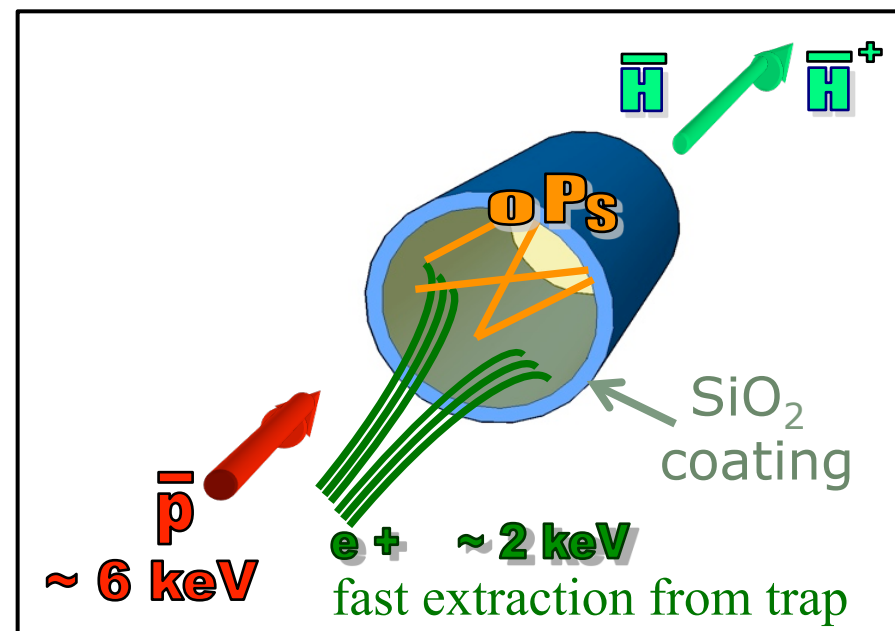
Present slow e^+ rate	$3.2 \ 10^6 \ s^{-1}$
with 10 MeV linac	$4.3 \ 10^7 \ s^{-1}$
target value	$2.8 \ 10^8 \ s^{-1}$

Dense Ps target

Dump 2×10^{10} e⁺ in Ps converter in $< \tau_{Ps} = 142$ ns

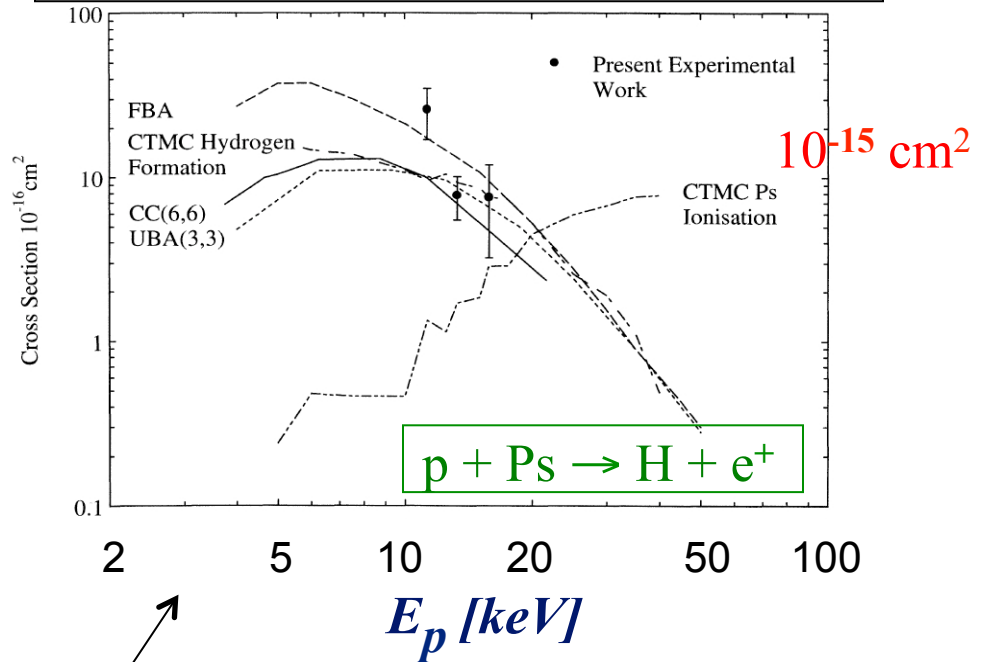
RIKEN test without buncher:
 $1.3 \cdot 10^{10}$ e⁻ / 75 ns

tube geometry to keep density
(SiO₂ reflects Ps)



Cross-sections on Ps

J. P. Merrison et al., Phys. Rev. Lett. **78**, 2728 (1997)



$$n_H = 1 - \infty$$

$$\left. \begin{array}{l} 10^7 \bar{p} \\ 10^{12} \text{ Ps at/cm}^2 \end{array} \right\} \rightarrow \begin{array}{l} 10^4 \bar{H} \\ 1 \bar{H}^+ \end{array}$$

H.R.J. Walters and C. Starett, Phys. Stat. Sol. C, 1-8 (2007)

